



Universität Bremen

Fachbereich 3: Mathematik und Informatik

Bachelorarbeit

Anpassungen von DTLS zur sicheren Kommunikation in eingeschränkten Umgebungen

Lars Schmertmann

Matrikel-Nr.246 918 7

14. Oktober 2013

1. Gutachter: Prof. Dr.-Ing. Carsten Bormann

2. Gutachter: Dr.-Ing. Olaf Bergmann

Betreuer: Dr.-Ing. Olaf Bergmann

Lars Schmertmann

Anpassungen von DTLS zur sicheren Kommunikation in eingeschränkten Umgebungen

Bachelorarbeit, Fachbereich 3: Mathematik und Informatik

Universität Bremen, Oktober 2013

Selbstständigkeitserklärung

Hiermit erkläre ich, dass ich die vorliegende Arbeit selbstständig angefertigt, nicht anderweitig zu Prüfungszwecken vorgelegt und keine anderen als die angegebenen Hilfsmittel verwendet habe. Sämtliche wesentlich verwendete Textausschnitte, Zitate oder Inhalte anderer Verfasser wurden ausdrücklich als solche gekennzeichnet.

Bremen, den 14. Oktober 2013

Lars Schmertmann

Danksagung

Dies hier ist ein Blindtext zum Testen von Textausgaben. Wer diesen Text liest, ist selbst schuld. Der Text gibt lediglich den Grauwert der Schrift an. Ist das wirklich so? Ist es gleichgültig, ob ich schreibe: „Dies ist ein Blindtext“ oder „Huardest gefburn“? Kjift – mitnichten! Ein Blindtext bietet mir wichtige Informationen. An ihm messe ich die Lesbarkeit einer Schrift, ihre Anmutung, wie harmonisch die Figuren zueinander stehen und prüfe, wie breit oder schmal sie läuft. Ein Blindtext sollte möglichst viele verschiedene Buchstaben enthalten und in der Originalsprache gesetzt sein. Er muss keinen Sinn ergeben, sollte aber lesbar sein. Fremdsprachige Texte wie „Lorem ipsum“ dienen nicht dem eigentlichen Zweck, da sie eine falsche Anmutung vermitteln. Dies hier ist ein Blindtext zum Testen von Textausgaben. Wer diesen Text liest, ist selbst schuld. Der Text gibt lediglich den Grauwert der Schrift an. Ist das wirklich so? Ist es gleichgültig, ob ich schreibe: „Dies ist ein Blindtext“ oder „Huardest gefburn“? Kjift – mitnichten! Ein Blindtext bietet mir wichtige Informationen. An ihm messe ich die Lesbarkeit einer Schrift, ihre Anmutung, wie harmonisch die Figuren zueinander stehen und prüfe, wie breit oder schmal sie läuft. Ein Blindtext sollte möglichst viele verschiedene Buchstaben enthalten und in der Originalsprache gesetzt sein. Er muss keinen Sinn ergeben, sollte aber lesbar sein. Fremdsprachige Texte wie „Lorem ipsum“ dienen nicht dem eigentlichen Zweck, da sie eine falsche Anmutung vermitteln.

Olaf Bergmann - Unterstützung	1
Jens Trillmann - Unterstützung	2
Dominik Menke - Vorlage	3
Hauke Mehrrens - Dissector	4
Rechnernetzkellogium	5

Zusammenfassung

Dies hier ist ein Blindtext zum Testen von Textausgaben. Wer diesen Text liest, ist selbst schuld. Der Text gibt lediglich den Grauwert der Schrift an. Ist das wirklich so? Ist es gleichgültig, ob ich schreibe: „Dies ist ein Blindtext“ oder „Huardest gefburn“? Kjift – mitnichten! Ein Blindtext bietet mir wichtige Informationen. An ihm messe ich die Lesbarkeit einer Schrift, ihre Anmutung, wie harmonisch die Figuren zueinander stehen und prüfe, wie breit oder schmal sie läuft. Ein Blindtext sollte möglichst viele verschiedene Buchstaben enthalten und in der Originalsprache gesetzt sein. Er muss keinen Sinn ergeben, sollte aber lesbar sein. Fremdsprachige Texte wie „Lorem ipsum“ dienen nicht dem eigentlichen Zweck, da sie eine falsche Anmutung vermitteln.

Inhaltsverzeichnis

1	Einleitung	1
1.1	Motivation	1
1.2	Verwandte Arbeiten	2
1.2.1	Datagram Transport Layer Security in Constrained Environments	2
1.2.2	A Hitchhiker's Guide to the (Datagram) Transport Layer Security Protocol	3
1.3	Ziel dieser Arbeit	3
1.4	Vorgehensweise	4
1.5	Struktur	4
2	DTLS	7
2.1	Handshake	8
2.2	Alert	10
3	Anpassungen	13
3.1	Header	13
3.2	Handshake	15
4	Definition des Cipher-Suites	19
4.1	TLS_PSK_ECDH_WITH_AES_128_CCM_8	20
5	Praktische Umsetzung	23
5.1	Server	24
5.1.1	Contiki-App: „flash-store“	26
5.1.2	Contiki-App: „time“	27
5.1.3	Contiki-App: „aes“	28
5.1.4	Contiki-App: „ecc“	29
5.1.5	Contiki-App: „er-13-dtls“	31
5.1.6	Update-Funktion	33
5.2	Client	34
5.3	Entwicklungsumgebung	35
6	Evaluation	37
6.1	Sicherheit	37

6.2	Datenverkehr während des Handshakes	38
6.2.1	DTLS mit Anpassungen	39
6.2.2	DTLS	41
6.2.3	DTLS mit Stateless-Header-Compression	42
6.2.4	Vergleich	43
6.3	Programmgröße	43
6.4	Dauer	45
7	Fazit	47
	Akronyme	50
	Glossar	52
	Literaturverzeichnis	55
	Abbildungsverzeichnis	57
A	CD und Inhalt	59

List of TODOs

remove \listoftodos again	
■ Olaf Bergmann - Unterstützung	4
■ Jens Trillmann - Unterstützung	4
■ Dominik Menke - Vorlage	4
■ Hauke Mehrrens - Dissector	4
■ Rechnernetzekolloquium	4
■ remove \listoftodos again	9

Einleitung

1.1 Motivation

Im Bachelorprojekt GOBI war das Ziel, ein System zur Heimautomatisierung, mit Hilfe von offenen Standards, zu realisieren. Bezüglich der Sicherheit ist dies nicht gelungen, und es wurde ein eigenes kleines Sicherheitsprotokoll implementiert. Dieses ist zu unsicher für den praktischen Einsatz, hat jedoch geholfen, ein Verständnis für die Materie zu entwickeln. Dieses Potential soll in dieser Arbeit genutzt werden, um mit Hilfe offener Standards eine Lösung zu entwickeln.

Während es im Internet schon seit Mitte der 1990 Jahre das Secure Sockets Layer Protocol (SSL) gibt, um den Datenverkehr über das Transmission Control Protocol (TCP) abzusichern, fehlte lange Zeit ein Standard, um den Datenverkehr über das User Datagram Protocol (UDP) zu sichern. Während SSL weiterentwickelt, und schließlich in Transport Layer Security Protocol (TLS) [DRo8] umbenannt wurde, nahm die Beliebtheit von UDP, unter anderem im Bereich der Onlinespiele, zu [RM12, Kapitel 1]. Um dort ebenfalls eine sichere Datenübertragung zu ermöglichen, begann die Internet Engineering Task Force (IETF) 2004 damit, ein Protokoll nach dem Vorbild von TLS zu entwickeln, was 2006 schließlich zu der Standardisierung des Datagram Transport Layer Security Protocol (DTLS) [RM12] führte. Dieses ist fast identisch mit TLS, wurde jedoch um Mechanismen ergänzt, die in UDP, im Gegensatz zu TCP, fehlen. Dazu gehört insbesondere die Zuverlässigkeit der Datenübertragung, die beim Verbindungsaufbau, und somit der Aushandlung der Sicherheitsmechanismen, notwendig ist. TLS und DTLS haben sich im Internet bewährt, sind jedoch zu einer Zeit entstanden, als das Web of Things (WoT) noch nicht vertreten war. Die dort verwendeten Endgeräte haben nur sehr wenig Ressourcen zur Verfügung. Dies betrifft neben wenig Rechenleistung und Speicher, der vielfach unter 100 KiB liegt, auch den Energievorrat, der oft über eine Batterie realisiert wird. Etabliert hat sich dort das Constrained Application Protocol (CoAP) [She+12] über UDP aufgrund seines schlanken Designs. Passend zu UDP ist DTLS, das sich, aufgrund seines Umfangs, jedoch nicht so einfach auf den vorher beschriebenen Endgeräten realisieren lässt. Genau hier soll diese Arbeit ansetzen und DTLS entsprechend anpassen, damit es auch auf Geräten mit wenig Ressourcen funktionieren kann.

1.2 Verwandte Arbeiten

Da die Anpassung von DTLS für den Einsatz in eingeschränkten Umgebungen ein aktuelles Thema ist, und bereits einige Vorschläge existieren, die in dieser Arbeit aufgegriffen werden sollen, werden in den folgenden beiden Abschnitten zwei Entwürfe der IETF betrachtet.

1.2.1 Datagram Transport Layer Security in Constrained Environments

Im IETF-Entwurf „Datagram Transport Layer Security in Constrained Environments“ [HB12] haben K. Hartke und O. Bergmann bereits einige Probleme aufgezeigt, die der Einsatz von DTLS in eingeschränkten Umgebungen mit sich bringt, und mögliche Lösungen vorgeschlagen.

Als eines der Hauptprobleme nennen die Autoren die geringe Paketgröße in Netzen die den Funkstandard IEEE 802.15.4 [LAN11] verwenden, da hier die Nutzdaten auf eine Länge von 127 Byte pro Paket beschränkt sind. Insbesondere beim Aufbau der sicheren Verbindung (Handshake) müssen viele Daten ausgetauscht werden, was bei der Verwendung von DTLS die Paketgröße überschreiten würde. Durch Internet Protocol, Version 6 (IPv6) [DH09], das in eingeschränkten Umgebungen mit Hilfe von IPv6 over Low power Wireless Personal Area Network (6LoWPAN) [Mon+07] realisiert wird, würde sich das Problem durch eine Nutzung der IP-Fragmentierung lösen lassen. Das führt aber bei Verlust einzelner Pakete zu einem neuen Versand aller IP-Fragmente, und erzeugt somit umfangreichen Datenverkehr, der einen hohen Energieverbrauch mit sich bringt. Ein weiterer Ansatz besteht darin, die Menge der Daten sowohl beim Verbindungsaufbau, als auch bei der Datenübertragung durch Komprimierung der Headerdaten zu verringern. Dafür schlagen die Autoren eine Stateless-Header-Compression vor. Bei Nutzung von CoAP wäre es auch möglich, den Verbindungsaufbau über CoAP zu realisieren. Dadurch ist die Zuverlässigkeit des Transports gegeben, und große Pakete könnten mit einer blockweisen Übertragung effizient übertragen werden, so dass bei Paketverlusten nur die verlorenen Pakete erneut übertragen werden müssten.

Beachtet werden müssen auch die Zeiten, nach denen ein Paket als verloren angesehen und erneut gesendet wird. Gerade beim Verbindungsaufbau kann es durch aufwendige Berechnungen, wie sie beispielsweise im Elliptic Curve Diffie-Hellman Verfahren benötigt werden, zu einer erhöhten Antwortzeit kommen, was nicht zu einem erneuten Paketversand führen sollte.

Beim Verbindungsaufbau werden viele Daten ausgetauscht, was gerade in eingeschränkten Umgebungen einige Zeit dauern kann. Um die Zeit möglichst kurz zu halten, ist es wichtig, die Anzahl der Kommunikationsvorgänge gering zu halten. Auch kann der Verbindungsaufbau schon durchgeführt werden, bevor Anwendungsdaten zum Übertragen vorhanden sind. Liegen dann Anwendungsdaten vor, können diese ohne Verzögerung übertragen werden.

Um Speicher zu sparen, müssen auch die Anzahl der sicheren Verbindungen begrenzt werden und Verbindungen nach einiger Zeit automatisch geschlossen werden, um neue Verbindungen zu ermöglichen.

1.2.2 A Hitchhiker's Guide to the (Datagram) Transport Layer Security Protocol

Im IETF-Entwurf „A Hitchhiker's Guide to the (Datagram) Transport Layer Security Protocol“ [TKK13] haben H. Tschofenig, S.S. Kumar und S. Keoh zunächst die Unterschiede von TLS 1.0, 1.1 und 1.2 erläutert und klargestellt, dass die Details bei einem Handshake von der Wahl des Cipher-Suites abhängen. Anhand einiger Beispiele erläutern sie, dass es wichtig ist, sich der Position eines Gerätes in einer Verbindung bewusst zu sein. So kann ein Sensor mit beschränkten Ressourcen sowohl als Server als auch als Client realisiert werden, wobei es auch auf die Anzahl der möglichen Verbindungen ankommt. Ein Sensor, der als Client agiert, wird mit großer Wahrscheinlichkeit immer nur einen Server kontaktieren, um dort neue Sensordaten zu hinterlegen, während ein als Server realisierter Sensor durchaus auch Anfragen von mehreren Clients erhalten kann. Je klarer die Position und die Umgebung des Sensors sind, desto weniger flexibel muss dieser sein, woraus eine spezialisierte Implementierung resultiert, die den Aufwand und die Codegröße reduziert.

Im weiteren Verlauf gehen sie auf wichtige Design-Entscheidungen ein, und erläutern deren Bedeutung und mögliche Auswirkungen.

Kernstück der Arbeit ist die Auswertung des Speicherverbrauchs, sowohl im Read-Only Memory (ROM) als auch im Random-Access Memory (RAM), und die Menge der übertragenen Daten bei einem Handshake. Anhand eines modifizierten Prototyps zeigen sie dort auf, welche grundlegenden Teile von DTLS, ohne Berücksichtigung der Cipher-Suite spezifischen Funktionen, wieviel Speicher verbrauchen und werten die Menge der übertragenen Daten in einem kompletten Handshake für die unterschiedlichen Protokollschichten aus. Des Weiteren haben sie die Codegrößen von beispielsweise Hash-Funktionen und anderen, für TLS notwendigen, Berechnungen ausgewertet, wie sie in unterschiedlichen Cipher-Suites verwendet werden.

Abschließend stellen sie fest, dass sich TLS/DTLS durchaus auf eingeschränkte Umgebungen zuschneiden lässt, wobei mehr Flexibilität aber zu größerem Programmcode führt.

1.3 Ziel dieser Arbeit

Ziel dieser Arbeit soll es sein, DTLS so weit anzupassen, dass es sich in eingeschränkten Umgebungen, insbesondere auf einem Redbee Econotag [Red13] mit dem MC13224v [Fre13] Mikrocontroller, nutzen lässt. Dabei soll der Funktionsumfang von DTLS aber nicht eingegrenzt werden. Sämtliche im Standard definierten Möglichkeiten sollen weiterhin nutzbar sein und insbesondere durch Aushandlung eines Cipher-Suites angewendet werden können.

1.4 Vorgehensweise

Im Vordergrund soll die Implementierung eines Sicherheitsprotokolls stehen, das sich an den Prinzipien von DTLS orientiert und Vorschläge aus dem IETF-Draft „Datagram Transport Layer Security in Constrained Environments“ [HB12] aufgreift. Ein besonderes Interesse besteht darin, den Handshake über CoAP [She+12] zu realisieren und somit einige in DTLS eingefügte Mechanismen überflüssig zu machen. Die Implementierung soll im Anschluss, unter anderem durch einen Vergleich mit DTLS, evaluiert werden.

Die Implementierung besteht aus dem Client auf einem gängigen PC, bei dem es keine speziellen Einschränkungen an Energie, Speicher oder Effizienz gibt, und aus dem Server, der für einen Redbee Econotag [Red13] mit dem MC13224v [Fre13] Mikrocontroller optimiert werden soll. Da der genannte Mikrocontroller die Verschlüsselung mit dem Advanced Encryption Standard (AES) im Counter (CTR)- und Cipher Block Chain (CBC)-Mode in Hardware unterstützt, und die Rechenleistung sowie der Speicher beschränkt ist, soll nur eine Cipher-Suite realisiert werden. Für diese dient „TLS_PSK_DHE_WITH_AES_128_CCM_8“ aus RFC 6655 [MB12] als Grundlage, wobei dort, aufgrund von Erfahrungen aus dem Bachelorprojekt GOBI, Anpassungen notwendig sind. Durch diese wird für den Verbindungsaufbau ein Schlüsselaustausch vorgegeben, wobei zusätzlich ein Pre-Shared Key (PSK) verwendet wird, damit sich die Kommunikationspartner gegenseitig authentifizieren können. Ein Verbindungsaufbau ist somit nur möglich, wenn beide Kommunikationspartner vorher einen gemeinsamen PSK vereinbart haben. Die Verschlüsselung der Anwendungsdaten erfolgt dann im Modus „Authenticated Encryption with Associated Data (AEAD)“ [McGo8] wobei sich hier „Counter with CBC-MAC (CCM)“ [WHFo3] aufgrund der Hardwarevoraussetzungen am besten eignet. Dieser besteht aus einer Verschlüsselung der Daten mit AES im CTR-Modus, während der dazugehörige Message Authentication Code (MAC) durch AES im CBC-Modus berechnet wird. Die Anzahl der möglichen sicheren Verbindungen soll beschränkt werden, um den Speicherverbrauch gering zu halten.

Bei der Evaluation soll die Datenmenge der Header-Daten, und der für einen Handshake benötigten Daten, mit einer reinen DTLS-Implementierung verglichen werden, wobei auch eine DTLS-Variante herangezogen wird, die eine Stateless-Header-Compression benutzt. Bewertet wird auch die Programmgröße, wobei einige Komponenten denen von DTLS gegenübergestellt werden. Ebenso soll die Dauer des Handshake bewertet werden.

1.5 Struktur

Im Anschluss an die Einleitung folgt in **Kapitel 2** eine Zusammenfassung über die Funktionsweise von DTLS, damit für die Beschreibung der Anpassungen, in **Kapitel 3**, eine Grundlage vorhanden ist.

Die für diese Arbeit verwendete Cipher-Suite wird in **Kapitel 4** beschrieben.

In **Kapitel 5** werden die Details der praktischen Umsetzung beschrieben, wobei dieses in 3 Abschnitte unterteilt ist. Während in **Abschnitt 5.1** der Server, der für den MC13224v konzipiert ist, erläutert wird, werden in

Abschnitt 5.2 und **Abschnitt 5.3** einige Dinge beschrieben, die den Client und die Entwicklungsumgebung auf einem gängigen Computer betreffen.

Kapitel 6 beinhaltet die Evaluation, in der DTLS mit den, in dieser Arbeit vorgeschlagenen, Anpassungen verglichen wird, während in **Kapitel 7** die persönliche Meinung des Autors enthalten ist.

DTLS

Um eine Grundlage für die Anpassungen im folgenden Kapitel zu schaffen, und in der Evaluation einen Vergleich zu ermöglichen, wird hier zunächst DTLS, wie es in RFC 6347 [RM12] standardisiert ist, erläutert. Da DTLS basierend auf TLS, gemäß RFC 5246 [DRo8], definiert ist, wird auch auf den Unterschied zwischen beiden eingegangen.

Das Sicherheitsprotokoll TLS wird im Allgemeinen mit dem stromorientierten TCP verwendet. Wurde eine Verbindung mit TCP hergestellt, können Daten beliebiger Größe in jede Richtung übertragen werden. TCP sorgt dafür, dass der eingegebene Bytestrom vollständig und in der richtigen Reihenfolge auf der Gegenseite wieder ausgegeben wird. Um die TLS-bezogenen Daten nun zu kennzeichnen und voneinander abzugrenzen, existiert das Record-Layer-Protokoll, dessen Header in Abbildung 2.1 dargestellt ist. Dort ist, neben der Art des Inhalts und der Protokollversion, auch die Länge enthalten, so dass aufeinanderfolgende Pakete im Datenstrom voneinander abgegrenzt werden können. Als Inhalt kommen vier Sub-Protokolle in Frage. Während das Application-Data-Protokoll für den Transport der Anwendungsdaten genutzt wird, kommt das Handshake-Protokoll für die Aushandlung der Sicherheitsparameter zum Einsatz. Über das Change-Cipher-Spec-Protokoll werden die zuletzt ausgehandelten Sicherheitsparameter aktiviert. Sollte es beim Handshake oder der Übertragung von Anwendungsdaten zu Fehlern kommen, werden diese mit Hilfe des Alert-Protokolls übertragen.

Da bei DTLS im Allgemeinen das paketorientierte UDP verwendet wird, bei dem die Länge eines Paketinhalts bekannt ist, wirkt die Längenangabe zunächst überflüssig. Jedoch ist es insbesondere bei einem Handshake sinnvoll, mehrere DTLS-Pakete innerhalb eines UDP-Pakets zusammenzufassen, so dass auch hier wieder eine Längenangabe benötigt wird, um die Pakete voneinander abzugrenzen. Zusätzlich sind bei DTLS, gegenüber TLS, nun die Datenfelder für die Epoche und die Sequenznummer hinzugekommen. Während diese beiden Werte bei TLS, durch die gewährleistete Reihenfolge der Daten durch TCP, implizit bekannt sind, müssen diese bei DTLS explizit angegeben werden, da UDP weder die Reihenfolge, noch den fehlerfreien Transport der Daten garantiert. Die Epoche wird bei einem erfolgreichen Handshake erhöht, und ordnet so die dazugehörenden Daten den im Handshake ausgehandelten Sicherheitsparametern zu, während die Sequenznummer in jeder Epoche bei 0 beginnt und bei jedem Paketversand erhöht wird.

```
struct {  
    ContentType type;  
    ProtocolVersion version;  
    uint16 epoch; // Nur bei DTLS  
    uint48 sequence_number; // Nur bei DTLS  
    uint16 length;  
} DTLS_Record;
```

Abbildung 2.1 Header des Record-Layer-Protokolls von DTLS

2.1 Handshake

Damit es überhaupt zu einer sicheren Verbindung kommen kann, müssen zunächst einige Sicherheitsparameter mit Hilfe des Handshake-Protokolls ausgehandelt werden. Der Header einer Handshake-Nachricht setzt sich gemäß Abbildung 2.2 zusammen. Während es bei TLS ausreichend ist, den Typ, die Länge und die Daten selbst zu senden, wurden bei DTLS weitere Datenfelder ergänzt. `message_seq` dient zur Durchnumerierung der Handshake-Nachrichten, um zu gewährleisten, dass diese vollständig, und in der richtigen Reihenfolge, bearbeitet werden. Da auf eine Fragmentierung der UDP-Pakete auf IP-Ebene vermieden werden soll, und somit die Paketgröße begrenzt ist, müssen Handshake-Nachrichten eventuell auf mehrere UDP-Pakete verteilt werden. Um dies zu ermöglichen, wurden `fragment_offset` und `fragment_length` ergänzt. So können die Daten in mehrere Teile geteilt werden, wobei die Länge und die Position im Paket hinterlegt werden. `length` enthält nach wie vor die Gesamtlänge, so dass eine Fragmentierung jederzeit erkannt werden kann.

```
struct {  
    HandshakeType msg_type;  
    uint24 length;  
    uint16 message_seq; // Nur bei DTLS  
    uint24 fragment_offset; // Nur bei DTLS  
    uint24 fragment_length; // Nur bei DTLS  
} Handshake;
```

Abbildung 2.2 Header des Handshake-Protokolls von DTLS

Der für einen Handshake durchzuführende Nachrichtenaustausch ist in vollständiger Form in Abbildung 2.3 aufgeführt. Die mit * markierten Pakete werden hier kurz erklärt, spielen aber im weiteren Verlauf keine Rolle, da die Authentifizierung durch den PSK realisiert werden soll und auf die Zertifikate verzichtet wird, um Ressourcen zu sparen.

Eingeleitet wird der Handshake mit einer Nachricht vom Typ `ClientHello`, in der der Client seine Möglichkeiten bekannt gibt. Dazu gehören u. a. die unterstützten Protokollversionen, Cipher-Suites und Kompressionsmethoden. Während der Server bei TLS nun direkt mit einer `ServerHello`-Nachricht und weiteren Handshake-Nachrichten antworten kann, lässt sich dies bei DTLS so nicht realisieren. Da UDP kein verbind-

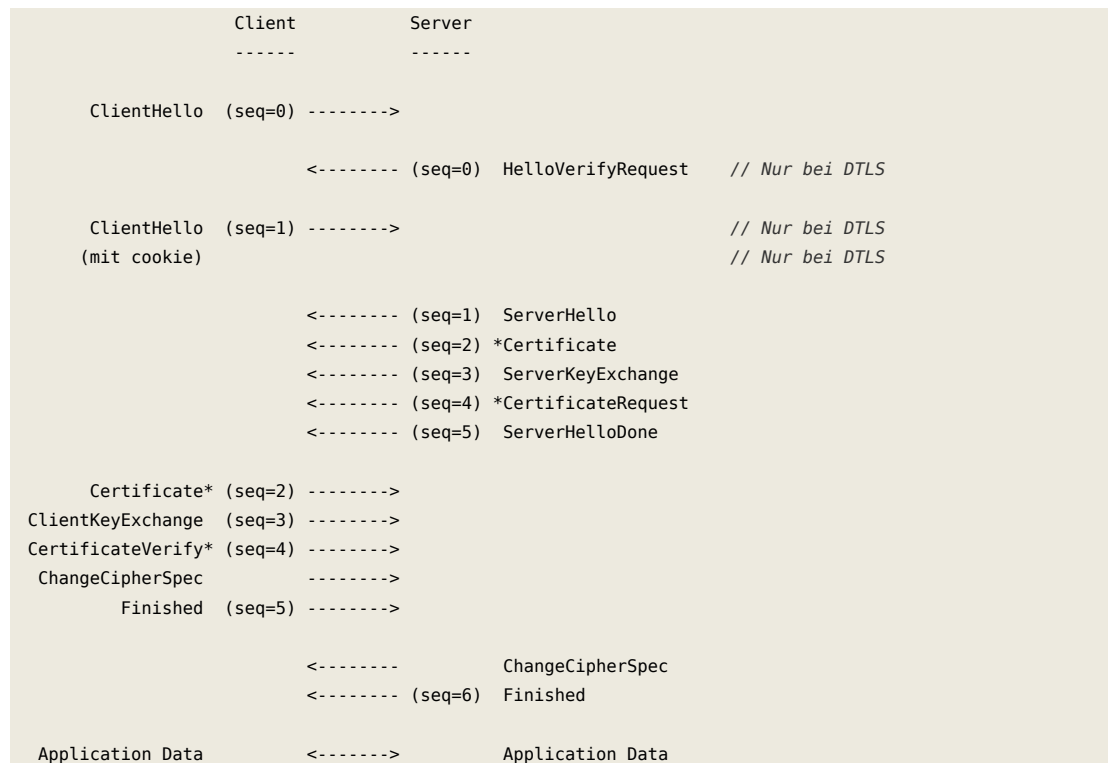


Abbildung 2.3 Nachrichtenaustausch während eines DTLS-Handshakes

dungsorientiertes Protokoll ist, können Pakete mit gefälschtem Absender versendet werden. Auf diese Art könnte Angriff vom Typ Denial-of-Service (DoS) durchgeführt werden, in dem zahllose Pakete mit unterschiedlichen Absendern an den Server gesendet werden, welche alle ein ClientHello enthalten. Problematisch ist hierbei der Zustand, der für jedes ClientHello im Server erzeugt wird. Neben dem Speicherverbrauch kann die Berechnung des ServerKeyExchange eine Menge Rechenleistung benötigen, so dass die Ressourcen des Servers schnell aufgebraucht sind. Um dies zu vermeiden und den Absender zu validieren, wurde in DTLS ein Cookie ergänzt. Dieser wird aus dem ClientHello generiert und als Antwort an den Client gesendet. So kann der Server den Cookie bei einem erneuten ClientHello wieder berechnen und mit dem mitgelieferten vergleichen. Dadurch wird bei der ersten Anfrage ein Zustand vermieden und der Client validiert. Trotz dieses Verfahrens ist es jedoch möglich, den Energievorrat des Servers durch unzählige Anfragen zu reduzieren, da auch die erste Anfrage (ohne Cookie) bearbeitet werden muss. Lediglich der dafür notwendige Aufwand ist geringer. Auch schützt dieses Verfahren nicht gegen einen Man-in-the-middle-Angriff.

Im ServerHello gibt der Server bekannt, welche der vom Client genannten Möglichkeiten, wie beispielsweise die unterstützten Cipher-Suites, ausgewählt wurden. Folgen können dann ein Zertifikat, Daten für einen Schlüsselaustausch sowie eine Anfrage für das Zertifikat des Clients. Abschließend folgt ein ServerHelloDone, um dem Client zu signalisieren, dass der Handshake fortgesetzt werden kann. Dieser sendet nun sein

eigenes Zertifikat, falls vom Server angefordert. Es folgen Daten für den Schlüsselaustausch und Daten, die es dem Server ermöglichen, das Zertifikat des Clients zu überprüfen, falls dieses die Möglichkeit bietet, Daten zu signieren. Damit sind zunächst alle Daten ausgetauscht, die für die Aushandlung der Sicherheitsmechanismen notwendig sind.

Während die bisher genannten Handshake-Nachrichten mit den Sicherheitsparametern der aktuell gültigen Epoche versendet werden, folgt nun der Versand eines `ChangeCipherSpec`. Dieses Paket gehört formell nicht zum Handshake-Protokoll, sondern bildet ein eigenes Protokoll, da hier die Epoche verändert wird. Eine `ChangeCipherSpec`-Nachricht besteht ausschließlich aus einem 1 Byte langen Header mit dem Wert 1 und enthält keine weiteren Daten. Nach dem Versand des Pakets werden alle folgenden Pakete mit den Sicherheitsparametern der neuen Epoche versendet, während erst der Empfang solch eines Pakets dazu führt, dass alle folgenden eingehenden Pakete mit Hilfe der neuen Sicherheitsparameter gelesen werden.

Schließlich wird noch eine `Finished`-Nachricht ausgetauscht, die wieder zum Handshake-Protokoll gehört. Diese enthält einen Hashwert von allen bisher ausgetauschten Nachrichten und wird mit den Sicherheitsparametern der neuen Epoche verschlüsselt. So wird der Handshake verifiziert, und die neuen Sicherheitsparameter auf Korrektheit geprüft.

Ist der Handshake erfolgreich verlaufen, können anschließend Anwendungsdaten über das Application-Data-Protokoll versendet werden, wobei die, während des letzten Handshakes ausgehandelten, Sicherheitsparameter benutzt werden. Sollte es zu einem weiteren Handshake kommen, wird dieser ebenfalls mit den Sicherheitsparametern der aktuell gültigen Epoche durchgeführt.

2.2 Alert

Wenn es während des Handshakes oder der Übertragung von Anwendungsdaten zu Fehlern kommt, werden diese mit Hilfe des Alert-Protokolls übertragen. Der Header (siehe Abbildung 2.4) enthält neben dem Alert-Level, welches *warning* (1) oder *fatal* (2) sein kann, die Beschreibung des Fehlers. Während Fehler der Stufe *fatal* zu einem unmittelbaren Verbindungsabbruch führen, sind Fehler der Stufe *warning* zur Information der Gegenseite über mögliche Probleme gedacht. Das Alert-Protokoll unterscheidet sich bei TLS und DTLS nicht voneinander, da eine zuverlässige Übertragung nicht notwendig ist. Sollte aufgrund einer verloren gegangenen Alert-Nachricht eine Anfrage wiederholt werden, wird erneut eine Alert-Nachricht generiert. Alert-Nachrichten werden, wie auch alle anderen Daten, mit den Sicherheitsparametern der aktuell gültigen Epoche übertragen.

```
struct {  
    AlertLevel level;  
    AlertDescription description;  
} Alert;
```

Abbildung 2.4 Header des Alert-Protokolls von DTLS

3.1 Header

```

0      1
0 1 2 3 4 5 6 7 8 9 0 1 2 3 4 5
+--+--+--+--+--+--+--+--+--+
|0| T | V |  E |1 1 0|  S | L |
+--+--+--+--+--+--+--+--+--+

```

Der RecordType (T) kann mit zwei Bit folgende vier Zustände annehmen: *8-Bit-Feld* (0), *Alert* (1), *Handshake* (2) und *Anwendungsdaten* (3). Trotz Realisierung des Handshakes über CoAP ist diese Unterteilung notwendig, damit auch der DTLS-Record-Layer über die Art des Inhalts informiert ist und speziell die direkt für ihn bestimmten Daten bearbeiten kann. Hierzu gehören die Daten des Alert-Protokolls, welche ohne CoAP

übertragen werden. Bei den Anwendungsdaten muss außerdem überprüft werden, dass diese nicht innerhalb der Epoche 0, also ohne Sicherheitsparameter, versendet oder empfangen werden. Auf direkte Angabe von *ChangeCipherSpec* wurde verzichtet, da dies bei einem Handshake über CoAP nicht mehr notwendig ist (siehe Kapitel 3.2). Sollten weitere Unterprotokolle notwendig sein, können diese innerhalb eines ein Byte langen Typenfeldes an den Header gehangen werden, was durch den Wert 0 signalisiert wird. In diesem zusätzlichen Byte wird dann der im TLS/DTLS definierte Wert hinterlegt. So ist es auch möglich, die drei direkt definierten Werte unkomprimiert zu versenden. Die komprimierten Werte wurden so angeordnet, dass, durch Addition von 20, die in TLS/DTLS definierten Werte ermittelt werden können.

Die Version (V) kann mit zwei Bit folgende vier Zustände annehmen, von denen drei benutzt werden: *DTLS 1.0* (0), *16-Bit-Feld* (1) und *DTLS 1.2* (2). *DTLS 1.0* und *DTLS 1.2* können hier direkt definiert werden, da *DTLS 1.0* weit verbreitet und *DTLS 1.2* die aktuellste Version ist. Auf *DTLS 1.1* wurde verzichtet, da Implementierungen, die über *DTLS 1.0* hinaus gehen, im Allgemeinen auch *DTLS 1.2* unterstützen. Auch hier ist es möglich, weitere Versionen an den Header anzuhängen, in dem V auf 1 gesetzt wird, wobei hier mit zwei Byte, das in TLS definierte Versionsformat zum Einsatz kommt.

Die Epoche (E) kann mit den Werten 0 bis 4 direkt angegeben werden. Da jede Kommunikation mit der Epoche 0 beginnt, und nach dem ersten Handshake in Epoche 1 fortgeführt wird, sind dies die am häufigsten verwendeten Werte. Jeder weitere Handshake erhöht die Epoche um eins, so dass auch weitere Epochen möglich sind ohne den Header zu vergrößern. Sollten höhere Werte benötigt werden, lässt sich das mit den folgenden Zuständen realisieren: *8-Bit-Feld* (5), *16-Bit-Feld* (6) und *Implizit* (7). So können 8 oder 16 Bit lange Epochen an den Header gehängt werden, was den durch DTLS vorgegebenen Bereich vollständig abdeckt. Alternativ kann durch den Wert 7 signalisiert werden, dass es sich bei der Epoche um die gleiche handelt, wie bei dem vorausgehenden DTLS-Paket innerhalb des gleichen UDP-Pakets.

Für die Sequenznummer (S) sind mit drei Bit acht Zustände möglich. Während mit den Werten 1 bis 6 die Länge in Byte der angehängten Sequenznummer angegeben wird, kann durch den Wert 0 die Angabe unterbunden werden. Im Allgemeinen wird die Sequenznummer, in Verbindung mit der Epoche, zur Berechnung des MACs herangezogen. Jedoch gibt es Cipher-Suites, die andere Mechanismen verwenden, so dass keine Sequenznummer notwendig ist. Falls mehrere DTLS-Pakete innerhalb eines UDP-Pakets enthalten sind, kann die Sequenznummer durch den Wert 7 auch relativ zum Vorgänger-Paket (+1) angegeben werden.

Schließlich folgt noch ein zwei Bit Wert für die Länge. Falls im UDP-Paket nur ein DTLS-Paket enthalten ist, kann hier der Wert 0 gesetzt werden, wodurch keine Länge angegeben wird. Diese ist durch die Länge des UDP-Pakets implizit bekannt. Mit den Werten 1 und 2 kann die Länge in Byte der angehängten Länge angegeben werden, während durch den Wert 3 das letzte DTLS-Paket im UDP-Paket gekennzeichnet wird, dessen Länge wieder implizit bekannt ist.

3.2 Handshake

Auch der Handshake orientiert sich am Entwurf von K. Hartke und O. Bergmann [HB12, Kapitel 4].

Wie in Kapitel 2 beschrieben, wurde der Header des DTLS-Handshake-Protokolls um eine Sequenznummer und zwei Datenfelder für die Fragmentierung ergänzt. Diese sind zunächst notwendig, um die, in UDP fehlende, Zuverlässigkeit und begrenzte Paketgröße auszugleichen. Da der Handshake nun über CoAP realisiert wird, können diese Datenfelder jedoch wieder wegfallen, da CoAP über geeignete Mechanismen verfügt.

Durch eine Kennzeichnung aller CoAP-Anfragen während des Handshakes als „confirmable“ stellt CoAP sicher, dass alle Daten zuverlässig übertragen werden. Dies wird dadurch realisiert, dass auf jede Anfrage mit mindestens einem Acknowledgement (ACK)-Paket geantwortet wird. Bleibt dies aus, wird die Anfrage nach Ablauf einer Wartezeit wiederholt. Durch diese Zuverlässigkeit, und den Erhalt der Reihenfolge der Daten innerhalb eines CoAP-Pakets, ist es somit möglich, auf das „message_seq“ Datenfeld zu verzichten.

Um IP-Fragmentierung zu vermeiden, wird die Blockweise-Datenübertragung von CoAP verwendet [BS13]. Problematisch ist die Verwendung der IP-Fragmentierung, da bei Verlust eines einzelnen Fragments das ganze IP-Paket verworfen wird. So kommt es zu einer Wiederholung der CoAP-Anfrage und die Übertragung aller Fragmente wird wiederholt. Je nach Anzahl der Fragmente und der Paketverluste kann es somit zu einer mehrfachen Übertragung kommen, die sowohl Zeit, als auch Energie benötigt. Um dies zu vermeiden werden die Daten schon durch CoAP in Fragmente unterteilt, die in einem einzelnen IP-Paket Platz finden. Jedes Fragment wird dann durch ein eigenes CoAP-Paket übertragen, das als „confirmable“ gekennzeichnet ist. Geht ein Fragment verloren, bleibt das ACK-Paket aus, und die Übertragung nur dieses Fragments wird wiederholt. So bleibt die Menge der übertragenen Daten, und damit der Energieverbrauch, minimal, und eine Übertragung der Daten ist auch bei einer hohen Rate an Paketverlusten möglich. Durch diesen Mechanismus kann auch auf die Datenfelder `fragment_offset` und `fragment_length` verzichtet werden.

Zu beachten ist jedoch die in CoAP genutzte Blockgröße. Diese kann nur die Werte 2^x annehmen, wobei x im Bereich von 4 - 10 liegt. Unter Beachtung der maximalen Paketgröße von 127 Byte kommen hier somit nur die Blockgrößen 16, 32 und 64 in Frage. Es hat sich gezeigt, dass in der Testumgebung der Header eines 6LoWPAN-Paketes in das Sensornetz 48 Byte groß ist, während der Header eines 6LoWPAN-Paketes aus dem Sensornetz eine Größe von 40 Byte besitzt. Hinzu kommt jeweils noch der acht Byte große UDP-Header, womit 71 bzw. 79 Byte für die CoAP-Anfrage bzw. -Antwort verbleiben. Der CoAP-Header ist minimal vier Byte groß und eine Blockoption benötigt zusätzliche drei Byte, womit noch 64 bzw. 72 Byte für die Daten des Handshakes selbst bleiben. Da bei einer CoAP-Anfrage aber auch noch der Uniform Resource Identifier (URI) in den CoAP-Optionen hinzukommt, fällt die Blockgröße von 64 Byte für eine CoAP-Anfrage weg, so dass hier nur die Blockgrößen 16 und 32 zur Auswahl stehen. Bezieht man schließlich auch noch den DTLS-Header mit ein und berücksichtigt, dass ein Handshake auch innerhalb einer sicheren Verbindung durchgeführt werden kann, wobei in diesem Fall ein 8 bis 16 Byte langer MAC hinzukommt, lassen sich auch CoAP-Antworten nur mit einer Blockgröße von 16 und 32 Byte übertragen.

Der vollständige Handshake über CoAP ist in Abbildung 3.2 zu sehen, wobei wieder die mit * markierten Daten in dieser Arbeit keine Anwendung finden.



Abbildung 3.2 Nachrichtenaustausch während eines TLS / DTLS Handshakes über CoAP

Für die Realisierung des Handshakes über CoAP dient die Ressource „/dtls“. Dieser URI wurde bewusst kurz gehalten, um sowohl Daten als auch Energie zu sparen, da er im Klartext in die CoAP-Anfrage eingefügt wird. DTLS-Sessions, die während eines Handshakes erzeugt werden, bilden Sub-Ressourcen. Gemäß CoAP [She+12, Abschnitt 5.8.2], soll eine POST-Anfrage, die eine Ressource erzeugt, mit einem 2.01 Created und der Location-Path-Option beantwortet werden, die den neuen URI enthält. Auf die Location-Path-Option wird hier verzichtet, da diese nicht zwingend ist, und die Session-ID in der ServerHello-Nachricht enthalten ist, womit sich der neue URI berechnen lässt. Die Verwendung der Location-Path-Option hätte den Nachteil, dass diese, bei einer blockweisen Übertragung, in jedem Block wiederholt werden würde. Dieser Nachteil tritt bei einer CoAP-Anfrage ebenfalls auf, wird hier jedoch akzeptiert, da es so bei einer blockweisen Übertragung frühzeitig möglich ist die Gültigkeit der Ressource zu überprüfen. Während die Session-ID somit

in der ClientHello-Nachricht überflüssig ist und entfernt wird, bleibt diese in der ServerHello-Nachricht enthalten. Dadurch ist auch fest definiert, dass eine ClientHello-Nachricht an die Haupt-Ressource die Erstellung einer neuen Sub-Ressource bewirkt, während eine ClientHello-Nachricht an eine Sub-Ressource die Wiederaufnahme einer Session bewirkt.

Während in einem gewöhnlichen DTLS-Handshake jede einzelne DTLS-Handshake-Nachricht sowohl den DTLS-Record-Header als auch den DTLS-Handshake-Header enthält, ist dies hier nicht mehr notwendig, da mehrere DTLS-Handshake-Nachrichten innerhalb eines CoAP-Pakets enthalten sind. Der DTLS-Record-Header ist einmalig vor jedem CoAP- oder jeder Alert-Nachricht enthalten. Um die DTLS-Handshake-Nachrichten innerhalb eines CoAP-Pakets voneinander abzugrenzen dient der DTLS-Content-Header in [Abbildung 3.3](#).

```

0 1 2 3 4 5 6 7
+---+---+---+---+
|   T   | L |
+---+---+---+---+

```

Abbildung 3.3 Komprimierter Content-Header

Dieser wurde abgeleitet vom Handshake-Header, wird jedoch nicht mehr so genannt, da in einem CoAP-Paket unterschiedliche DTLS-Inhalte enthalten sind. Neben Handshake- und ChangeCipherSpec-Nachrichten sind dort zusätzlich Alert-Nachrichten möglich. Während in den ersten sechs Bits der in DTLS definierte Wert für den Handshake-Typ hinterlegt werden kann, enthalten die letzten beiden Bits die Anzahl, der dem Header folgenden, Bytes der Länge, wobei der Wert 0 die Länge 0 direkt definiert. Neben den in DTLS definierten Handshake-Typen werden die folgenden beiden Typen definiert: *change_cipher_spec* (32) und *alert* (33).

Obwohl eine zuverlässige Übertragung von Benachrichtigungen gemäß DTLS nicht notwendig ist, macht es insbesondere bei einem Handshake Sinn, diese innerhalb eines CoAP-Paketes zu versenden, falls es sich um die Antwort auf eine Anfrage handelt. Ausgehend von einem ClientHello, das auf der Server-Seite ein Problem auslöst, erwartet der Client vom Server eine CoAP-Antwort. Wird die Benachrichtigung darüber ohne CoAP versendet, muss der Client bei Erhalt der Benachrichtigung dafür sorgen, dass die Anfrage aus der darüber liegenden CoAP Schicht entfernt wird, damit diese nicht wiederholt wird. Bei Versand der Benachrichtigung über CoAP erledigt sich dies von selbst, da bereits eine Antwort auf die Anfrage erhalten wurde. Der CoAP-Response-Code ist in diesem Fall „4.00 Bad Request“. Ein Beispiel dafür ist in [Abbildung 3.4](#) zu sehen.

Während der Record-Typ bei Anwendungsdaten eindeutig ist, muss dieser nun für einen Handshake und Benachrichtigungen definiert werden. Alert wird hier nur verwendet, falls es sich um eine Benachrichtigung direkt über UDP ohne CoAP handelt. Benachrichtigungen innerhalb von CoAP sind eindeutig durch den Content-Header gekennzeichnet und gehören immer zu einem Handshake, womit hier auch der Record-Type Handshake verwendet wird. Der Record-Typ Handshake wird generell verwendet, wenn es sich um Handshake-Daten handelt. Dazu zählt hier nun auch eine enthaltene ChangeCipherSpec-Nachricht. Wäh-

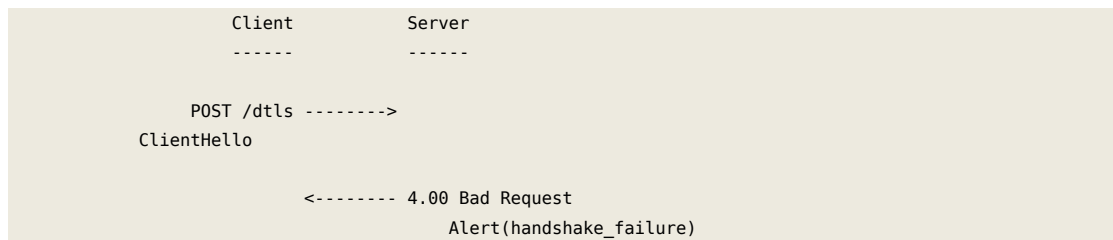


Abbildung 3.4 Nachrichtenaustausch während eines TLS / DTLS Handshakes über CoAP

rend bei TLS/DTLS der Versand einer ChangeCipherSpec-Nachricht zur anschließenden Änderungen der Sicherheitsparameter des Paketversands führt, kommt es bei Empfang solch eines Pakets zur Änderungen der Sicherheitsparameter des Paketempfangs für alle folgenden Pakete. Diese Vorgehensweise ist hier nicht mehr notwendig. Die Epoche und somit die Sicherheitsparameter für den Paketempfang ergeben sich durch den DTLS-Header. Beachtet werden muss nur, wann eine alte Epoche für den Paketempfang für ungültig erklärt werden kann. Dieses ist auf der Seite des Clienten nach Erhalt der Nachricht Nr. 6, gemäß Abbildung 3.2, möglich, da diese die letzte Nachricht der alten Epoche ist, und der Handshake erfolgreich abgeschlossen wurde. Der Server darf die alte Epoche für den Paketempfang jedoch erst nach Erhalt der ersten Anwendungsdaten in der neuen Epoche vernichten, da er nicht sicherstellen kann, dass Nachricht Nr. 6 den Clienten erreicht hat und dieser somit Nachricht Nr. 5 wiederholen könnte. Genaus so verhält es sich für die Epoche und die dazugehörigen Sicherheitsparameter für den Paketversand. Hat der Server Nachricht Nr. 6 erhalten, kann er alle weiteren Nachrichten mit den Sicherheitsparametern der neuen Epoche versenden und die Alten löschen. Der Server weiß bei Erhalt der ersten Anwendungsdaten ebenfalls, dass Pakete innerhalb der alten Epoche nicht mehr versendet werden, und kann die dazu gehörenden Sicherheitsparameter vernichten.

Da somit, gemäß Abbildung 3.2, die Finished-Nachricht innerhalb des CoAP-Pakets noch mit den alten Sicherheitsparametern verschlüsselt wird, müssen hier zusätzliche Maßnahmen ergriffen werden, um den Zweck der Nachricht zu bewahren. Hier wird der Hash über alle, im Handshake ausgetauschten, Nachrichten nun zusätzlich mit den neuen Sicherheitsparametern verschlüsselt, wobei die Finished-Nachricht, durch die ChangeCipherSpec-Nachricht, die einen Wechsel der Sicherheitsparameter kennzeichnet, eindeutig von den vorhergehenden Nachrichten abgegrenzt wird. Die ChangeCipherSpec-Nachricht kennzeichnet somit nun immer einen Wechsel von der Epoche ohne Verschlüsselung zur neuen Epoche mit Verschlüsselung. Je nach Cipher-Suite wird dadurch die in TLS definierte Länge der Finished-Nachricht von 12 vergrößert, da unter Umständen Zusatzinformationen, wie Nonce und MAC, hinzukommen. Da es sich um die erste Nachricht handelt, die mit den Sicherheitsparametern der neuen Epoche verschlüsselt wird, ist die Sequenznummer mit null eindeutig definiert. Der Datenaustausch nach einem Handshake beginnt somit mit der Sequenznummer eins.

Definition des Cipher-Suites

Neben den grundlegenden Anpassungen im DTLS-Record-Layer und der Änderung des Handshakes ist es notwendig, eine geeignete Cipher-Suite zu definieren. Diese gibt vor, welche Mechanismen für die Authentisierung genutzt werden und auf Grundlage welcher Algorithmen diese durchgeführt wird. Auch kann ein Verfahren zum Schlüsselaustausch definiert werden. Für die Übertragung von Anwendungsdaten ist schließlich ein Verschlüsselungsverfahren festgelegt, das Vertraulichkeit und/oder Integrität sicherstellen soll. Die Cipher-Suite beeinflusst somit wesentlich, welche und wieviel Daten während des Handshakes ausgetauscht werden und welche Berechnungen notwendig sind. Je nach Verfahren können diese sehr umfangreich werden und sind somit insbesondere für eingeschränkte Umgebungen nicht immer geeignet.

Da der Mikrocontroller die Verschlüsselung mit AES-128 im CTR- und CBC-Mode in Hardware unterstützt, kommen zunächst die im RFC 6655 [MB12] aufgeführten Cipher-Suites in Frage. Diese nutzen für die Verschlüsselung den CCM-Modus, der durch die Hardware einfach und effizient realisiert werden kann. Während in Kapitel 3 des RFC's einige Cipher-Suites definiert sind, die zur Berechnung des Schlüssels das rechenaufwendige RSA-Verfahren benutzen, sind in Kapitel 4 des RFC's einige Cipher-Suites für AES-128 definiert, die einen PSK verwenden und von RFC 4279 [ET05] abgeleitet wurden. Der einzige Unterschied besteht hier darin, dass für die Berechnung des MAC in RFC 4279, der Secure Hash Algorithm (SHA) verwendet wird, der hier nicht genutzt werden soll. Es kommen somit die vier folgenden Cipher-Suites aus Kapitel 4 des RFC's in Frage:

1. TLS_PSK_WITH_AES_128_CCM
2. TLS_PSK_DHE_WITH_AES_128_CCM
3. TLS_PSK_WITH_AES_128_CCM_8
4. TLS_PSK_DHE_WITH_AES_128_CCM_8

Während 1 und 2 einen 16 Byte langen MAC benutzen, ist dieser bei 3 und 4 nur 8 Byte lang. Da der MAC an jedes verschlüsselte Datenpaket angehängt wird um die Integrität sicherzustellen, verkürzt sich dadurch der ohnehin geringe Platz für Anwendungsdaten (siehe Kapitel 3.2). Zwar ist es leichter, einen 8 Byte langen MAC zu fälschen, da dieser anstatt 2^{128} Werten, wie bei einem 16 Byte MAC, nur 2^{64} Werte annehmen kann, aber dennoch fällt die Wahl hier zugunsten der größeren möglichen Datenmenge auf die 8 Byte lan-

ge Version, womit Cipher-Suite 1 und 2 nicht weiter betrachtet werden. Im Unterschied zu Cipher-Suite 3, wird bei Cipher-Suite 4 nicht nur der PSK verwendet um den Schlüssel zu berechnen. Zusätzlich wird ein Diffie-Hellman-Schlüsselaustausch durchgeführt und dessen Ergebnis mit dem PSK kombiniert. Der große Unterschied besteht darin, dass ein Angreifer, mit Kenntnis des PSK, ohne zusätzlichen Diffie-Hellman-Schlüsselaustausch, jederzeit in der Lage ist den Schlüssel zu berechnen. Damit kann Dieser die übertragenen Daten entschlüsseln oder manipulieren, unabhängig davon, ob er während des Handshakes gelauscht hat. Bei zusätzlicher Verwendung des Diffie-Hellman-Schlüsselaustauschs, ist er nicht in der Lage, den Schlüssel zu berechnen und die Daten zu entschlüsseln. Problematisch bleibt nur ein Man-in-the-middle-Angriff während des Handshakes. Verhindert ein Angreifer die direkte Kommunikation und leitet den Handshake über sich, kann er mit dem PSK eine Verbindung zu beiden Parteien herstellen und den zukünftigen Datenverkehr mitlesen. Dies fällt erst dann auf, wenn der Angreifer verschwindet, da die beiden Parteien ohne ihn nicht direkt kommunizieren können. Die Verwendung von Cipher-Suite 3 kommt somit nicht in Frage, womit Cipher-Suite 4 hier zunächst das Mittel der Wahl ist.

Problematisch ist jedoch, dass ein Diffie-Hellman-Schlüsselaustausch sehr rechenintensiv ist. Ein Versuch innerhalb des Bachelorprojekts GOBI hat gezeigt, dass ein Diffie-Hellman-Schlüsselaustausch mit 128-Bit-Zahlen, bei den zwei benötigten Berechnungen, jeweils ca. 30 Sekunden auf dem verwendeten Mikrocontroller benötigt. Um bei dem derzeitigen Stand der Technik eine ausreichende Sicherheit gewährleisten zu können, müssen jedoch minimal 1024-Bit-Zahlen verwendet werden, was außerhalb der Möglichkeiten des Mikrocontrollers liegt. Ein weiteres Manko ist auch die definierte Pseudo-Random-Funktion (PRF). Diese basiert auf Keyed-Hashing for Message Authentication (HMAC) mit SHA2, was die Größe des Programms relevant erhöht. Laut dem Internet-Entwurf „A Hitchhiker’s Guide to the (Datagram) Transport Layer Security Protocol“ [TKK13] von H. Tschofenig, S.S. Kumar und S. Keoh werden 2.928 Byte für HMAC und 2.432 Byte für SHA benötigt. SHA2 ist hier leider nicht mit aufgeführt. Zu beachten ist bei diesen Angaben jedoch, dass es sich hier um 64-Bit-Code handelt. Da der in dieser Arbeit benutzte Mikrocontroller jedoch mit 16-Bit-Code betrieben wird, ist hier eher eine Größe von ca 1200 - 1500 Byte zu berücksichtigen, die nur für die PRF benötigt wird. Um diese Probleme zu lösen bzw. die benötigte Codegröße und Rechenleistung zu reduzieren wird nun eine neue Cipher-Suite definiert.

4.1 TLS_PSK_ECDH_WITH_AES_128_CCM_8

In Anlehnung an das Cipher-Suite 4 soll nun zunächst die Effizienz des öffentlichen Schlüsselaustauschs verbessert werden. Um dieses zu realisieren, wird hier nun die Elliptic Curve Cryptography (ECC) gemäß RFC 4492 [Bla+06] für einen Diffie-Hellman-Schlüsselaustausch verwendet werden. Bei der Verwendung von 256-Bit-Zahlen ist hier eine höhere Sicherheit gegeben als bei der Verwendung von 2048-Bit-Zahlen in einem gewöhnlichen Diffie-Hellman-Schlüsselaustausch. ECC und AES-CCM wurden zwar im Internet-Entwurf „AES-CCM ECC Cipher Suites for TLS“ [McG+11] schon kombiniert, jedoch werden hier Zertifikate anstatt eines PSK verwendet, die hier nicht genutzt werden sollen.

Durch die Verwendung von ECC bekommt die Cipher-Suite nun ihren Namen:

- TLS_PSK_ECDH_WITH_AES_128_CCM_8

Da dieses keine offizielle Cipher-Suite gemäß den „Transport Layer Security (TLS) Parameters“ [Int13b] ist, wird hier die Nummer {0xFF, 0x01} benutzt, da diese für die private Nutzung reserviert ist.

Alle weiteren Parameter für einen Diffie-Hellman-Schlüsselaustausch, unter Verwendung von ECC, sind Teil der Aushandlung im Handshake, und müssen hier somit nicht weiter definiert werden.

Die Nonce setzt sich gemäß dem RFC 5116 [McGo8] für die Umsetzung von AEAD-Algorithmen zusammen. Es wird hier eine 12 Byte lange Nonce verwendet, die sich aus einem Initialisierungsvektor, der Epoche und der Sequenznummer zusammensetzt (siehe Abbildung 4.1). Während die Epoche und die Sequenznum-

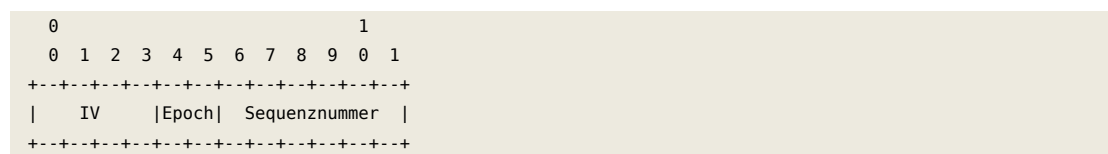


Abbildung 4.1 Nonce für AES-CCM

mer im DTLS-Header enthalten sind, und in der selben Ordnung (Network Byte Order == Most Significant Byte First) in der Nonce hinterlegt werden, wird der Initialisierungsvektor nicht mit übertragen, und ist implizit bekannt durch Erzeugung des Keyblocks innerhalb des Handshakes. Dieser wird gemäß RFC 5246 [DRo8] Kapitel 6.3 durch die PRF erzeugt und muss somit 40 Byte lang sein, welche wie folgt aufgeteilt sind:

- 0 Byte: client_write_MAC_key
- 0 Byte: server_write_MAC_key
- 16 Byte: client_write_key
- 16 Byte: server_write_key
- 4 Byte: client_write_IV
- 4 Byte: server_write_IV

Separate Schlüssel für die Verschlüsselung der Daten und der Erzeugung des MAC sind hier nicht mehr notwendig, da bei der Verwendung von AES-CCM mit einem Schlüssel beide Dinge erledigt werden.

In RFC 5116 [McGo8] wird für die Umsetzung von AES-CCM auf eine Veröffentlichung des National Institute of Standards and Technology (NIST) mit der Nummer 800-38C [Nato4] verwiesen. Diese beschreibt das Verfahren in gleicher Weise wie RFC 3610 [WHFo3], wobei dieser bei den weiteren Erläuterungen nun Anwendungen finden soll. Für die Umsetzung sind zwei Parameter notwendig. Zum einen muss die Länge des MAC (M) definiert werden, welche in diesem Fall schon durch den Wert 8 festgelegt ist. Zum anderen muss die Größe des Längensfeldes (L) definiert werden, welches die Länge der zu verschlüsselnden Daten enthält und somit die Länge der Daten begrenzt. Da sich die Länge der Nonce durch $15 - L$ ergibt, und die Länge der Nonce bereits auf 12 festgelegt ist, ergibt sich hier der Wert für L von 3. Damit ist die Länge beschränkt auf drei MiB, was aber mehr als ausreicht, da in dem betrachteten Umfeld ein Paket maximal 127 Byte groß

sein kann, und die zu verschlüsselnde Datenmenge aufgrund der abzuziehenden Header noch weit darunter liegt.

Um auf HMAC und SHA2 verzichten zu können, wird nun noch die PRF für diese Cipher-Suite definiert. Anwendung findet diese in 3 Fällen zur Berechnung folgender Werte:

master_secret

$\text{PRF}(\text{pre_master_secret}, \text{„master secret“}, \text{client_random} + \text{server_random})$

key_block

$\text{PRF}(\text{master_secret}, \text{„key expansion“}, \text{server_random} + \text{client_random})$

finished

$\text{PRF}(\text{master_secret}, \text{finished_label}, \text{Hash}(\text{handshake_messages}))$

wobei finished_label = „client finished“ oder „server finished“

Grundlage zur Berechnung soll ein Cipher-based Message Authentication Code (CMAC) auf Basis von AES sein, der in RFC 4493 [Son+06] definiert ist, wobei der PSK direkt als Schlüssel genutzt wird. Nach Vorbild von RFC 5246 [DR08] wird die PRF nun gemäß Abbildung 4.2 definiert, wobei + die Konkatenation zweier Zeichenketten bedeutet.

```
PRF(secret, label, seed) = P_hash(secret + label + seed)

P_hash(seed) = CMAC(A(1) + seed) +
               CMAC(A(2) + seed) +
               CMAC(A(3) + seed) + ...

A(0) = seed
A(i) = CMAC(A(i-1))

CMAC(data) = AES-CMAC(psk, data)
```

Abbildung 4.2 Definition der Pseudo-Random-Funktion

Um den Hash für die Berechnung der Finished-Nachricht zu ermitteln, wird nun ebenfalls der definierte CMAC benutzt. Um die Berechnung zu vereinfachen wird der Hash entgegen dem Vorschlag von K. Hartke und O. Bergmann [HB12] aus den Handshake-Nachrichten ermittelt, wie sie über das Netz versendet wurden. Sollte also eine Stateless-Header-Compression wie in Kapitel 3.1 verwendet werden, dann wird der Hash auf Grundlage der komprimierten Nachrichten berechnet. So können die ein- und ausgehenden Nachrichten direkt für die Berechnung des Hashs gespeichert werden, ohne weitere Berechnungen vornehmen zu müssen.

Praktische Umsetzung

In den folgenden Abschnitten werden wichtige Merkmale der praktischen Umsetzung erläutert und einige Details erklärt, ohne eine umfangreiche Dokumentation des Quellcodes zu erstellen. Die Dokumentation des Quellcodes erfolgt für öffentliche Funktionen in den Header-Dateien im Stil von Doxygen [Hee13].

Die im vorigen Kapitel definierte Cipher-Suite hängt grundlegend vom PSK des Endgeräts (Server) ab. Jeder, der diesen kennt, ist in der Lage, während eines Handshakes einen Man-in-the-middle-Angriff durchzuführen oder Werte der PRF zu berechnen, da diese auf dem PSK basiert. Jedes Endgerät wird bei Herstellung mit einem eigenen PSK ausgerüstet. Dies wird durch ein Programm namens „Blaster“ realisiert, das im Bachelor-Projekt GOBI entstanden ist und für die Verwendung in dieser Arbeit angepasst wurde. Während in GOBI eine Persönliche Identifikationsnummer (PIN) generiert wurde, die, nach Erstellung einer sicheren Verbindung, zur Authentifizierung des Besitzers des Endgeräts benutzt wurde, wird hier nun ein PSK generiert. Blaster kommt zum Einsatz, nachdem der Quellcode des Endgeräts kompiliert wurde und erweitert die Binärdatei um Daten, die nach dem, maximal ~96 KiB großen, Programmcode folgen. Diese, maximal 28 KiB langen, Daten werden nicht in den RAM-Speicher kopiert und können zur Ablage von Daten genutzt werden, die auch bei einem Batterie-Wechsel erhalten bleiben sollen. Neben dem PSK wird auch ein Universally Unique Identifier (UUID) generiert um das Endgerät eindeutig zu identifizieren. Da diese Daten für den Aufbau der DTLS-Verbindung genutzt werden, müssen diese einem Endgerät beigelegt werden, was durch einen Aufkleber auf der Verpackung realisiert werden könnte. Um einem Benutzer das Einbinden neuer Endgeräte möglichst einfach zu machen, wurde Blaster so erweitert, dass bei Ausführung auch ein QR-Code generiert wird. So können die Daten, mit Hilfe des QR-Code, frühzeitig in einem DTLS-Client hinterlegt werden, so dass die Daten bei einem Verbindungsaufbau direkt verfügbar sind. Dieses System hat den Nachteil, dass der PSK unter Umständen mindestens einem Vorbesitzer des Endgeräts bekannt ist. Dieser soll aber nach Veräußerung eines Endgeräts keinen Zugriff mehr darauf bekommen. Um dem Vorzubeugen ist der dem Endgerät beiliegende PSK nur für einen Verbindungsaufbau gültig. Ist dieser erfolgreich abgeschlossen, wird automatisch ein neuer PSK generiert und bei einem weiteren Verbindungsaufbau benutzt. Möchte der Besitzer eine weitere Verbindung zum Endgerät aufbauen, kann er den neuen PSK über die vorhandene sichere Verbindung abrufen und nutzen, wobei dann wieder ein neuer PSK generiert wird. Um ein End-

gerät zu veräußern, kann ein Reset-Knopf gedrückt werden, welcher das Endgerät auf den Werkszustand zurücksetzt und so den ursprünglichen PSK wieder aktiviert.

5.1 Server

Der Server wird auf einem Redbee Econotag [Red13] realisiert. Der darauf enthaltene Mikrocontroller MC13224v [Fre13] enthält, neben dem IEEE 802.15.4 Funkstandard und einer AES Hardware-Engine, 128 KiB Flash-Speicher und 96 KiB RAM-Speicher. Bei Inbetriebnahme wird das im Flash-Speicher vorliegende Programm vollständig in den RAM-Speicher kopiert und dort ausgeführt, wodurch sich eine maximale Programmgröße von 96 KiB ergibt. Die zusätzlichen 32 KiB Flash-Speicher können somit für die Ablage von Daten genutzt werden, die auch nach einer Stromunterbrechung, oder einem Neustart des Geräts, erhalten bleiben sollen. Zu berücksichtigen ist jedoch auch noch, dass der letzte 4 KiB große Block schon für den Redbee Econotag selbst reserviert ist.

Betrieben wird der Server mit SmartAppContiki [Kov13], das auf Contiki [Con13] basiert, und eine Implementierung von CoAP, in der Entwurfsversion 13 [She+12], enthält. In der Standardkonfiguration benötigt SmartAppContiki, mit einer definierten CoAP-Ressource, die ein „Hallo Welt!“ zurückgibt, 83,73 KiB. Diese Daten teilen sich gemäß Abbildung 5.1 auf. Um den benötigten Speicher zu optimieren wurde die Größe des „Sys Stack“ und des „Heap“ in der Konfigurationsdatei „contiki/cpu/mc1322x/mc1322x.lds“ angepasst. Außerdem wurde „REST_MAX_CHUNK_SIZE“ in der Contiki-App „Erbium“ von 128 auf 48 Byte reduziert, wodurch das Datensegment weniger Speicher benötigt. Diese Konstante definiert die maximale Größe der Anwendungsdaten, die in einem Contiki-Paket untergebracht werden können, und stellt somit sicher, dass jedes CoAP-Paket in ein einzelnes IP-Paket passt.

Beschreibung	Standard	Angepasst
Programm	58760 Byte	58760 Byte
Irq Stack	256 Byte	256 Byte
Fiq Stack	256 Byte	256 Byte
Svc Stack	256 Byte	256 Byte
Abt Stack	16 Byte	16 Byte
Und Stack	16 Byte	16 Byte
Sys Stack	1024 Byte	2048 Byte
Datensegment	21064 Byte	20744 Byte
Heap	4096 Byte	16 Byte
Gesamt	85744 Byte 83,73 KiB	82368 Byte 80,44 KiB

Abbildung 5.1 Speicheraufteilung von SmartAppContiki

Dies wurde möglich durch Verwendung der in Contiki eingebauten Beobachtungswerkzeuge. Durch Definieren von periodischen Ausgaben der benutzen Heap sowie Sys Stack Größe, in „contiki/platform/redbee-

econotag/contiki-mc1322x-main.c“, können die Auslastungen beobachtet werden. Um diesen Prozess effizienter zu gestalten, wird nur die Initialisierung durchgeführt und die periodischen Ausgaben deaktiviert. In „server/server.c“ lässt sich nun, durch Aktivieren des Debug-Modus, ein Code einbinden, der auf Knopfdruck sowohl die Speicheraufteilung als auch die bisher genutzten Bytes des Sys Stack und Heap ausgibt. Dadurch lässt sich erkennen, dass der Heap garnicht benutzt wird, und somit unnötig Speicher belegt. Da insbesondere während des Handshakes, unter anderem aufgrund der Berechnung von elliptischen Kurven, viele Daten zwischengespeichert werden müssen, wird ersichtlich, dass ein Sys Stack von 1024 Byte nicht ausreicht, eine Größe von 2048 Byte jedoch optimal ist. Durch diese Anpassungen wurde der, für SmartAppContiki benötigte, Speicher von 83,73 KiB auf 80,44 KiB reduziert (siehe Abbildung 5.1). Somit stehen für die Umsetzung von DTLS ~15,5 KiB zur Verfügung, wobei auch berücksichtigt werden muss, dass noch die Funktionen des Geräts selbst implementiert werden müssen.

Bei der Benutzung der, in SmartAppContiki enthaltenen, CoAP 1.3 Implementierung, hat sich herausgestellt, dass die Unterstützung für die CoAP-Option Block-1 fehlt. Diese Option kann von einem Clienten benutzt werden, um größere Datenmengen in einer CoAP-Anfrage in Blöcke zu unterteilen, damit es nicht zu einer Fragmentierung auf IP-Ebene kommt. Laut Aussage von Matthias Kovatsch wird „auf die atomare Variante aus Platzgründen verzichtet, da man Block1 ganz einfach im Resource-Handler lösen kann,. Da diese Option für den DTLS-Handshake generell benötigt wird, und ohne Code-Duplizierung auch anderen Ressourcen zur Verfügung stehen soll, wird sie in ähnlicher Form wie die Separate-Option implementiert. Das Separate-Modul bietet Methoden an, um den Client während der Bearbeitung einer Anfrage zu informieren, dass die Bearbeitung einige Zeit dauert, und die Beantwortung der Anfrage später fortzusetzen. In diesem Sinne bietet das Block-1-Modul eine Methode an, mit der die Parameter der Block-1-Option überprüft und bearbeitet werden, wobei bei Bedarf die entsprechenden Fehler generiert, oder die erhaltenen Daten auf Wunsch zusammengesetzt werden. Genau wie das Separate-Modul kann das Block1-Modul optional in einer Ressource benutzt werden. Dabei ist nach wie vor ein Empfang von Daten ohne Block-1-Option möglich. Durch den Rückgabewert der Methode, lässt sich in der Ressource entscheiden, ob schon die einzelnen Datenblöcke bearbeitet werden, oder erst die vollständige Nachricht nach Erhalt aller Blöcke. Damit das Separate-Modul auch in Kombination mit dem Block-1-Modul genutzt werden kann, wurde das Separate-Modul entsprechend angepasst um die Block-1-Option zu berücksichtigen.

Während bisher allgemeine Anpassungen von SmartAppContiki bzw. dem darin enthaltenen CoAP 1.3 beschrieben wurden, folgt in den nächsten vier Abschnitten die Erläuterung von vier implementierten Contiki-Apps, welche für die Realisierung von DTLS benutzt werden. Die Implementierung von DTLS wird dann im 5. Abschnitt erläutert, wonach abschließend noch eine Update-Funktion erläutert wird, die für DTLS nicht notwendig ist, aber dessen Umfeld berücksichtigt.

5.1.1 Contiki-App: „flash-store“

Für eine Nutzung des erweiterten Flash-Speichers wird die App „flash-store“ verwendet. Als Basis für die Implementierung dient Code aus dem Bachelorprojekt GOBI. Dieser war jedoch noch nicht als Contiki-App organisiert, sondern direkt mit in den Code eingebunden. Auch ist die Aufteilung der 4 KiB großen Flash-Speicher-Blöcke eine Andere. Diese Aufteilung ist in Abbildung 5.2 zu sehen. Während oben die 8 Speicherblöcke mit ihren Adressen aufgeführt sind, werden darunter die Aufteilungen für unterschiedliche Zwecke angegeben, wobei dort sowohl die GOBI-Aufteilung als auch die neue Aufteilung aufgeführt sind.

0x18000 — 0x18FFF	0x19000 — 0x19FFF	0x1A000 — 0x1AFFF	0x1B000 — 0x1BFFF	0x1C000 — 0x1CFFF	0x1D000 — 0x1DFFF	0x1E000 — 0x1EFFF	0x1F000 — 0x1FFFF
-------------------------	-------------------------	-------------------------	-------------------------	-------------------------	-------------------------	-------------------------	-------------------------

Aufteilung innerhalb des Bachelorprojekts GOBI:

RO 1	RW 1	RW 2	RO 2	SR
	0x0000 — 0x0FFF	0x1000 — 0x1FFF	← virtuelle Speicheradressen	

Neue Aufteilung für DTLS:

RW 1	RW 2	RAD	RO	SR
0x0000 — 0x0FFF	0x1000 — 0x1FFF	← virtuelle Speicheradressen		

Legende: RW = Read-Write, RAD = Read-Append-Delet, RO = Read-Only, SR = System-Reserved

Abbildung 5.2 Aufteilung des erweiterten Flash-Speichers

Geändert wurde zunächst die Position der beiden RW-Blöcke. Diese ermöglichen das Schreiben von Daten, ohne die Eigenschaften des Flash-Speichers berücksichtigen zu müssen. Dieser kann nur beschrieben werden, falls die betroffene Position vorher einmal gelöscht wurde, was sich aber nur in Blöcken a 4 KiB realisieren lässt. Um Datenverluste zu vermeiden, werden jeweils zwei 4 KiB große Blöcke benutzt, um einen 4 KiB großen Speicher zu realisieren, der sich durch virtuelle Adressen ansprechen lässt, welche ebenfalls in Abbildung 5.2 aufgeführt sind. Die Daten sind immer nur in einem Block gespeichert, während der andere Block gelöscht ist. Kommt es zu einem Schreibvorgang, wird der Datenblock in den leeren Block kopiert, wobei die gewünschten Änderungen realisiert werden. Die Position der beiden RW-Blöcke befindet sich nun am Anfang, da sich so die Adressen, der jeweils zusammengehörenden Blöcke, genau um ein Bit unterscheiden. Das vereinfacht die Berechnung der Quell- und Ziel-Adresse erheblich, so dass durch Optimierung des Quellcodes 70 Byte an Programmgröße eingespart werden.

Problematisch ist jedoch die Dauer und der Energieverbrauch bei einem Schreibzugriff dieser Art. Um eine effizientere Ablage von Daten zu ermöglichen folgt nach den beiden RW-Blöcken anstatt des RO-Blocks nun

ein RAD-Block. Dieser ist vergleichbar mit einem Stack ohne Push- und Pop-Funktion. Für die Initialisierung wird der komplette Block gelöscht. Daten können nun so lange eingefügt werden, bis der Block voll ist. Wieviel Daten gerade enthalten sind, wird dabei in einer globalen Variablen im RAM-Speicher gespeichert. Der Lesezugriff kann dabei beliebig erfolgen.

Gleich geblieben ist die Position des RO-Blocks. Dort können im Vorfeld, durch das bereits erwähnte Programm „Blaster“, Daten abgelegt werden, welche zur Laufzeit ausgelesen werden können. Dies spart Programmgröße, da diese „Konstanten“ nicht im Datensegment des Programms enthalten sind.

Abschließend folgt noch ein Block der für den Redbee Econotag selbst reserviert ist, und somit nicht genutzt werden kann.

5.1.2 Contiki-App: „time“

Im Gegensatz zu herkömmlichen Desktop-Rechnern oder Servern verfügt der Redbee Econotag über keine innere Uhr bezüglich der Realzeit. Angeboten wird vom MC13224v das Register „MACA_CLK“ welches mit einem Takt von 250 KHz erhöht wird. Dieses läuft, bedingt durch seine Breite von 32 Bit, jedoch alle 4,77 Stunden über, so dass ohne weitere Eingriffe keine direkte Berechnung der Zeit möglich ist. Ähnlich verhält es sich mit dem Register „CRM_RTC_COUNT“ welches im Takt von „CRM_RTC_TIMEOUT“ Hz erhöht wird. Dieser Wert wird von Contiki eingestellt und liegt bei ~20 KHz. Dadurch erfolgt hier ein Überlauf nach ungefähr 60 Stunden. Neben dem Überlauf haben beide Quellen das Problem, dass die Register bei Einschalten des Econotags bei 0 anfangen, und die Werte somit keinerlei Bezug zur Realzeit haben.

Contiki löst einen Teil der genannten Probleme und stellt die Funktion „clock_seconds“ zur Verfügung. Diese kümmert sich um den Überlauf und berechnet laufend die, seit dem Einschalten des Econotags, vergangenen Sekunden. Diese werden in einer 32-bit-Variablen gespeichert, wodurch ein Überlauf erst nach ~136 Jahren vorkommen kann.

Um den Bezug zur Realzeit herzustellen, wird die aktuelle Unixzeit vom Blaster generiert und im RO-Teil des Flash-Speichers hinterlegt. Diese Zeit spiegelt somit den Herstellungszeitpunkt wieder. Wird die aktuelle Zeit benötigt, kann diese durch Addition der von Contiki ermittelten Sekunden und der Unixzeit berechnet werden. Das funktioniert natürlich nur so lange, wie der Redbee Econotag nach dem Flashen ununterbrochen mit Strom versorgt wird. Um eine Korrektur zu ermöglichen, bietet die App eine Methode an, um die aktuelle Uhrzeit zu setzen. Diese wird mit der alten Zeit verglichen um einen Korrekturwert zu ermitteln, der in einer globalen Variablen hinterlegt wird. Hier macht es keinen Sinn, diesen im Flash-Speicher abzulegen, da er nach einem Batteriewechsel direkt wieder veraltet wäre.

5.1.3 Contiki-App: „aes“

Um die AES-Funktionen des MC13224v [Fre13] zu nutzen, dient diese Contiki-App. Die bereits beschriebene Cipher-Suite verwendet in der PRF AES-CMAC [Son+06]. Außerdem wird für die Verschlüsselung AES-CCM [WHF03] verwendet. Beide Verfahren werden vom MC13224v nicht direkt unterstützt. Bereitgestellt wird nur der reine AES-Verschlüsselungsprozess im CTR- und CBC-Mode.

Damit die AES-Hardware genutzt werden kann, muss diese zunächst initialisiert werden. Die dafür notwendige Methode wurde zum Großteil aus dem Bachelorprojekt GOBI übernommen und leicht modifiziert. Neben der Aktivierung der AES-Hardware wird dort ein Selbsttest mit einem internen Schlüssel durchgeführt. Ist dieser erfolgreich, werden die beiden Modi CTR und CBC, für die spätere Nutzung, aktiviert.

Die AES-Berechnungen selbst werden durch Übertragen der notwendigen Daten in Register des Mikrocontrollers durchgeführt. Diese sind auf Speicheradressen abgebildet, die wiederum in Konstanten in der Bibliothek des Mikrocontrollers hinterlegt sind. Da es sich um eine 128-bit-Verschlüsselung handelt, der Mikrocontroller aber nur in 32 Bit arbeitet, sind für jeden Wert vier Register notwendig. Diese sind jeweils von 0 bis 3 durchnummeriert, was in der folgenden Beschreibung durch <X> dargestellt wird. Zusätzlich sind zwei Register notwendig, um den Verschlüsselungsprozess zu starten und auswerten zu können.

KEY<X>

Schlüssel zur Ver- und Entschlüsselung. Verbleibt so lange im Register, bis das AES-Modul zurückgesetzt, oder das Register überschrieben wird.

DATA<X>

Klar- oder Geheimtext.

CTR<X>

Zähler für den CTR-Mode. Dieser wird nicht automatisch erhöht und muss somit vor jeder Berechnung gesetzt werden.

CTR<X>_RESULT

Ergebnis der CTR-Berechnung. Dafür wurde der hinterlegte Zähler verschlüsselt und durch die XOR-Funktion mit dem Datenpaket verknüpft. Dieses Register kann nur gelesen werden.

CBC<X>_RESULT

Ergebnis der CBC-Berechnung. Dafür wurde das Datenpaket durch die XOR-Funktion mit dem Ergebnis der letzten Verschlüsselung verknüpft und dann verschlüsselt. Dieses Register kann nur gelesen werden.

MAC<X>

Kann mit einem Initialisierungsvektor belegt werden, der für die CBC-Berechnung herangezogen wird.

CONTROL0bits

Enthält u. a. ein Bit, durch das die Verwendung des Initialisierungsvektors gekennzeichnet wird. Außerdem ist ein Bit dafür vorgesehen, den Ver- und Entschlüsselungsprozess zu starten.

STATUSbits

Enthält u. a. ein Bit, das kennzeichnet, ob die aktuelle Berechnung abgeschlossen wurde.

Da der Ent- und Verschlüsselungsprozess derselbe ist, reicht eine Methode für die Umsetzung von AES-CCM aus. Diese arbeitet in-place, was bedeutet, dass die Daten direkt an ihrer Position im Speicher konvertiert werden, und zusätzlich nur eine konstante, von der Datenmenge unabhängige, Menge Speicher benötigt wird. Während für die Verschlüsselung ein Aufruf der Methode ausreicht, da die Daten verschlüsselt werden und der MAC berechnet wird, sind für die Entschlüsselung zwei Aufrufe notwendig. Zunächst werden die Daten entschlüsselt, wobei automatisch ein neuer MAC, auf Basis des Geheimtextes, generiert wird. Dieser hat jedoch keinen Nutzen. Im 2. Schritt wird die Funktion erneut aufgerufen, um ausschließlich den MAC zu generieren, damit dieser mit dem Erhaltenen verglichen werden kann. Das führt im 1. Schritt zwar zu unnötigen Berechnungen, verlangsamt aber den Prozess nicht, da Entschlüsselung und MAC-Berechnung parallel in der Hardware durchgeführt werden. Der Vorteil liegt hier in der geringen Programmgröße.

Die Methode zur Berechnung der CMAC ist so gestaltet, dass die Berechnung in mehreren Schritten erfolgen kann, solange die Länge der übergebenen Daten ein Vielfaches von 16 Byte (128 Bit) beträgt. Erst durch Setzen des letzten Parameters, welcher den Abschluss signalisiert, ist die Datenlänge beliebig, und die Berechnung wird gemäß CMAC-Vorgabe abgeschlossen.

5.1.4 Contiki-App: „ecc“

Für die Berechnung von elliptischen Kurven wurde im Bachelorprojekt GOBI von Jens Trillmann ein C-Programm implementiert. Dieses basiert auf einer Implementierung für einen 8-bit Mikrocontroller [Coc09], wurde jedoch für 32-bit-Prozessoren optimiert. Getestet und benutzt wird diese Implementierung bisher nur auf Desktop-Rechnern, wobei hier die Ausführung der Berechnungen in nicht wahrnehmbarer Zeit erledigt wird.

Um die Berechnungen auch auf dem Redbee Econotag durchzuführen, wird die Implementierung in eine eigene Contiki-App übernommen. Da der MC13224v-Mikrocontroller ebenfalls 32-bit-Berechnungen durchführt, ist dies zunächst direkt möglich. Im Gegensatz zu Prozessoren in Desktop-Systemen arbeitet der Mikrocontroller jedoch mit einer wesentlich geringen Taktfrequenz, so dass sich die benötigte Rechenzeit für eine Multiplikation auf elliptischen Kurven auf 13 Sekunden beläuft. In Zusammenarbeit mit Jens Trillmann sind deshalb zunächst die drei Grundfunktionen „Addition“, „Subtraktion“ und „Right-Shift“ für große Zahlen in Assembler realisiert worden, um die Berechnung zu beschleunigen. Weitere Optimierungen sollen in der Bachelorarbeit von Jens Trillmann folgen.

Auf Basis des „ARM GCC Inline Assembler Cookbook“ [KK13] sind für die drei Grundfunktionen einige Varianten entstanden. Welche davon jeweils genutzt wird, lässt sich in den einzelnen Quellcode-Dateien einstellen. Generell bietet sich eine Umsetzung in Assembler an, da sich das sogenannte „Carry-Bit“ nutzen lässt. In diesem wird bei einer Rechenoperation ein möglicher Überlauf gespeichert. Für die gängigen Rechenoperationen gibt es zwei unterschiedliche Befehle, wobei nur bei einem das Carry-Bit genutzt wird. Dieses Potenzial zu nutzen, hat sich jedoch als schwierig herausgestellt, da Contiki das Thumb-Instruktion-Set des MC13224v nutzt. Im Gegensatz zum ARM-Instruktion-Set, das 32-bit-Operationen nutzt, sind es

im Thumb-Instruktion-Set nur 16 Bit. Jede Thumb-Instruktion wird bei Ausführung automatisch in die entsprechende ARM-Instruktion umgewandelt und ausgeführt. Durch die begrenzte Größe stehen jedoch nicht alle ARM-Instruktionen zur Verfügung und die Anzahl der nutzbaren Register ist auf 8 reduziert. Der Vorteil liegt jedoch in der geringen Programmgröße, so dass Contiki überhaupt erst auf dem MC13224v betrieben werden kann.

Alle drei Grundfunktionen sind zunächst ohne Einschränkung, der auch in C implementierten Funktionalität, umgesetzt. Insbesondere sind somit die Längen der Ein- und Ausgabewerte variabel, was sich nur mit einer Schleife realisieren lässt. Eine Schleife bedeutet jedoch auch, dass ein Zähler erhöht und verglichen werden muss. Da der Block mit dem Carry-Bit im Thumb-Instruktion-Set durch alle Operationen aktualisiert wird, geht das Carry-Bit der Hauptoperation vom einen zum nächsten Schleifendurchlauf verloren, muss manuell zwischengespeichert, und bei Bedarf berücksichtigt werden. Ein Sichern und Wiederherstellen des Blocks mit dem Carry-Bit ist nur im ARM-Instruktion-Set möglich. Die Optimierung besteht bei dieser Umsetzung somit nur darin, dass es einfach möglich ist, einen Überlauf zu erkennen. Während dies bei der Addition und Subtraktion 24 und 32 Byte Programmgröße einspart, bringt es bei Right-Shift keinen Größenvorteil. Jedoch ist die Berechnung aufgrund der eingesparten Vergleiche bei allen Operationen schneller.

Da im Thumb-Instruktion-Set für einen Right-Shift keine Funktion zur Verfügung steht, die das Carry-Bit direkt benutzt, ist hier keine weitere Optimierung möglich. Für die Addition und Subtraktion sind weitere Varianten verfügbar. Da die Subtraktion ausschließlich für die Berechnung von 256-bit-Zahlen benutzt wird, was acht 32-bit-Blöcken entspricht, ist es möglich, die acht Subtraktionen direkt hintereinander auszuführen, so dass das Carry-Bit ohne weitere Eingriffe direkt berücksichtigt wird. Die Programmgröße nimmt dabei, im Vergleich zum C-Code, um ~32 Byte ab und die Berechnungsgeschwindigkeit nimmt wesentlich zu. Anders verhält es sich bei der Addition, da Werte unterschiedlicher Größe addiert werden. Notwendig sind hier 128, 256 und 512 Bit. Für jede dieser Größen ist nun ein eigener Additionsblock vorhanden. Bei Aufruf der Funktion wird die Größe überprüft und der richtige Block ausgewählt. Dies bietet eine maximale Geschwindigkeit, erhöht jedoch die Größe des Programms um 88 Byte.

Um weitere 96 Byte einzusparen, sind 3 benötigte Konstanten im Flash-Speicher hinterlegt. Dazu gehören die X- und Y- Koordinate des Basis-Punkts, der für den Diffie-Hellman-Schlüsselaustausch verwendet wird, und die Ordnung der verwendeten elliptischen Kurve. Die Ordnung wird nur verwendet, um zu überprüfen, ob der zufällig generierte private Schlüssel sich für die Benutzung eignet. Bei Bedarf werden die Werte aus dem Flash-Speicher geladen und nur so lange im Stack abgelegt, wie sie benötigt werden.

Weitere Optimierungen bezüglich der Programmgröße und Berechnungsgeschwindigkeit sollen in der Bachelorarbeit von Jens Trillmann folgen.

5.1.5 Contiki-App: „er-13-dtls“

Um diese Contiki-App zu realisieren, sind zunächst einige Anpassungen in er-coap-13 notwendig. Um nach wie vor einen Betrieb ohne DTLS realisieren zu können, werden diese Anpassungen nur dann aktiv, wenn die Compiler-Anweisung WITH_DTLS gesetzt ist, was im Makefile für ein Contiki-Programm durch „CFLAGS += -DWITH_DTLS=1“ realisiert werden kann. Bei der Verwendung von DTLS wird der Port gemäß [Int13a, Seite 93] von 5683 auf 5684 geändert. Außerdem wird der Datenverkehr über DTLS-Funktionen geleitet, die den Record-Layer realisieren und die Daten bei Bedarf ent- oder verschlüsseln. Kernstück ist die Ressource „/dtls“, die für die Durchführung des Handshakes in CoAP eingebunden wird.

Für die Realisierung des Record-Layers und der DTLS-Ressource sind einige Module notwendig, die im Folgenden zunächst beschrieben werden.

er-dtls-13-alert.[h|c]

Stellt zwei Funktionen für den Versand einer Alert-Nachricht zur Verfügung. Während die eine, ohne Verwendung von CoAP, eine Nachricht an den Kommunikationspartner sendet, konfiguriert die andere eine CoAP-Antwort. Dieser Unterschied ist notwendig, da einige Fehler während des Handshakes auftauchen, und per CoAP kommentiert werden, damit es nicht zu einer neuen Anfrage kommt. Würden diese Nachrichten direkt mit dem Record-Protokoll versendet, müsste sich der Empfänger darum kümmern, die Anfrage aus dem CoAP-Layer zu entfernen.

er-dtls-13-data.[h|c]

Erstellt und verwaltet sessionspezifische Daten. Die Anzahl der Sessions ist hier auf maximal zehn begrenzt. Damit die dafür notwendigen 1400 Byte nicht dauerhaft den RAM-Speicher belegen, sind diese im Flash-Speicher abgelegt. Die Ausnahme bilden hier die beiden Werte für die Sequenznummern zum Lesen und Schreiben. Während letztere bei jedem Datenaustausch geändert werden, werden die grundlegenden Session-Daten nur während des Handshakes geschrieben, so dass hier die Nutzung des Flash-Speichers sinnvoll ist. Dafür wird der RW-Block verwendet, der durch die Contiki-App flash-store zur Verfügung gestellt wird. Die Sessions sind dort in einem Array hinterlegt, wobei die genutzten Stellen entsprechend gekennzeichnet sind. Dadurch werden bei der Suche nach Sessions unter Umständen auch leere Stellen durchlaufen, jedoch bleibt der Aufwand erspart die Liste zu defragmentieren oder Zeiger einer verketteten Liste zu aktualisieren. Da pro Session zwei Keyblöcke benötigt werden, falls es zu einem erneuten Handshake kommt, sind diese in einem separaten Array mit der Länge 20 hinterlegt. Der Index der Keyblöcke ergibt sich dabei aus dem Index der Session. Liegt diese im ersten Array an Index i , sind die dazu gehörenden Keyblöcke an Index $i \cdot 2$ und $i \cdot 2 + 1$ hinterlegt. Dabei liegt der derzeit gültige Keyblock immer an Index $i \cdot 2$. Bei einer Weiterentwicklung der Epoche, wird der 2. Keyblock an den Index des ersten kopiert. Da die Sequenznummern im RAM-Speicher abgelegt sind, gehen diese bei einem Batteriewechsel, oder Neustart des Endgeräts, verloren, womit die Session nicht fortgesetzt werden kann. Da es keine sinnvolle Lösung gibt, diese ohne Sicherheitslücken wiederherzustellen, wird bei einem Start des Endgeräts der RW-Block des Flash-Speichers zurückgesetzt, wodurch alle Sessiondaten gelöscht werden. Bei einer folgenden Anfrage wird der Client zunächst eine Alert-Nachricht bekommen, was aber dann zu einem neuen Handshake führt.

er-dtls-13-prf.[h|c]

Enthält die im Cipher-Suite definierte PRF. Die größte Datenmenge wird für die Berechnung des Master-Secrets benötigt. Dort gehen 153 Byte in die Berechnung ein. Dieses ist ausreichend klein um die Berechnung mit einem Funktionsaufruf durchzuführen, womit der Programmcode klein gehalten wird, da kein Zustand für eine Fortsetzung der Berechnung gespeichert und genutzt werden muss.

er-dtls-13-psk.[h|c]

Verwaltet den PSK und generiert bei Bedarf einen neuen. Der PSK wird im Vorfeld durch das Programm Blaster generiert und im Flash-Speicher abgelegt. Soll ein neuer PSK generiert werden, um den Werks-PSK zu deaktivieren, wird ein Byte im RW-Block des Flash-Speichers gesetzt und dort ebenfalls ein neuer PSK hinterlegt. Wird der PSK abgerufen, kann anhand des gesetzten Bytes erkannt werden, ob der Werks-PSK gilt oder ein neuer verfügbar ist. Kommt es zu einem Batteriewechsel oder Neustart des Endgeräts, ist der Werks-PSK wieder gültig, da der RW-Block zurückgesetzt wurde.

er-dtls-13-random.[h|c]

Bietet Funktionen für die Generierung von Zufallszahlen an. Dieses Modul benutzt das MACA_RANDOM Register des MC13224v, das durch Contiki bereits initialisiert wurde. Durch Auslesen des Registers können beliebig viele Zufallswerte erzeugt werden.

Im Record-Layer wird das Modul für die Sessionverwaltung und das Modul für die Alert-Nachrichten genutzt. Bei der Bearbeitung einer Nachricht werden die benötigten Session-Daten abgerufen und zur Bearbeitung der Nachricht genutzt. Sollten dabei Fehler auftreten, wird eine Alert-Nachricht an den Client gesendet und das Paket verworfen. Zu beachten ist bei eingehenden Daten, dass sowohl Handshake-Nachrichten als auch Anwendungsdaten CoAP-Pakete enthalten. Während Handshake-Nachrichten in Epoche 0, ohne Verschlüsselung, gestattet sind, ist dies bei Anwendungsdaten nicht erlaubt. Bei Handshake-Nachrichten wird somit sichergestellt, dass die erste, im CoAP-Paket enthaltene, URI dem Wert „dtls“ entspricht, da ein Angreifer ansonsten beliebige CoAP-Anfragen als Handshake-Nachricht tarnen könnte.

In der CoAP-Ressource „/dtls“ werden schließlich Handshake-Nachrichten bearbeitet. Falls es hier zu Fehlern kommt wird der Client darüber in einer CoAP-Antwort, die durch das Modul für die Alert-Nachrichten generiert wird, informiert. Ein Fehler resultiert in einem Abbruch des Ressource-Handlers, was durch einen Sprung an das Ende der Methode realisiert wird, damit globale Variablen zurückgesetzt werden können.

Um Speicher zu sparen, und die Block-1-Option von CoAP einfach nutzen zu können, wird nur ein Handshake zur Zeit gestattet. Dafür wird bei einem Aufruf des Ressource-Handlers, anhand einer globalen Variable, überprüft, ob die Ressource gerade in Benutzung ist. Ist dies der Fall, wird die Absender-IP verglichen. Stimmt diese mit der Absender-IP der letzten Anfrage überein, kann die Anfrage trotzdem bearbeitet werden. Besteht keine Übereinstimmung, wird die Zeit herangezogen, seit der die Ressource gesperrt ist. Liegt diese mehr als 60 Sekunden zurück, kann die Anfrage ebenfalls bearbeitet werden. Diese Überprüfung ist notwendig, da ein Angreifer die Ressource durch einen einmaligen Aufruf dauerhaft sperren könnte, wenn er seine Anfrage nicht zu Ende führt.

Bei Bearbeitung einer Anfrage, wird die Ressource zunächst generell gesperrt. Ist eine Block-1-Übertragung abgeschlossen, wird die Ressource generell wieder freigegeben. Nur die Bearbeitung einer ClientHello-

Nachricht mit korrektem Cookie führt im weiteren Verlauf zu einer erneuten Sperrung, da hier ein Zustand erzeugt wird, der erst in der darauffolgenden Anfrage abgearbeitet wird.

Übertragen werden mit Hilfe der Block-1-Option eine ClientHello-Nachricht oder eine Kombination aus den Nachrichten ClientKeyExchange, ChangeCipherSpec und Finished, wobei die Länge von letzterem mit insgesamt 114 Byte, durch die einzig definierte Cipher-Suite, konstant ist. Anders ist dies bei der ClientHello-Nachricht, welche durch eine Vielzahl vom Client beherrschter Cipher-Suites, sehr viel größer werden kann. Aufgrund der begrenzten Ressourcen ist die maximale Länge einer Block-1-Nachricht auf 128 Byte begrenzt, die durch vier Blöcke á 32 Byte oder acht Blöcke á 16 Byte ausgenutzt werden kann. Wird diese Länge überschritten, erfolgt eine CoAP-Fehlermeldung „4.13 REQUEST ENTITY TOO LARGE“, mit einem Hinweis auf die begrenzte Maximalgröße, so dass ein Client sein Angebot an Cipher-Suites reduzieren kann, um der maximalen Größe gerecht zu werden.

Als Cookie für die HelloVerifyRequest-Nachricht wird ein CMAC von „client-ip + clienthello“ herangezogen. Dieses bietet sich an, da für die Berechnung eines CMACs der derzeit gültige PSK herangezogen wird. Dieser ist immer nur für einen Handshake gültig, und wird bei erfolgreichem Abschluss des Handshakes durch einen neuen PSK ersetzt. Damit weitere Handshakes möglich sind, kann der neue PSK über die Ressource „/d/psk“ abgerufen werden. Somit ist es einem Angreifer nicht möglich, einige aufgezeichnete Cookies erneut zu verwenden.

Für die Generierung der Session-ID, wird schließlich der RFC 3986 [T Bo5] herangezogen. Da diese als Sub-Ressource im URI enthalten ist, dürfen dort nur die im RFC beschriebenen Zeichen verwendet werden. Gemäß dem dort enthaltenen Abschnitt 2.3 dürfen nur Buchstaben, Zahlen und die vier Sonderzeichen „-“, „_“, „.“ und „~“ verwendet werden.

5.1.6 Update-Funktion

Damit Endgeräte im Einsatz ein Softwareupdate erhaltenen können, ohne diese direkt mit einem Computer zu verbinden, dient die Ressource „/f“. Mit Hilfe dieser kann der Programmcode aktualisiert werden, ohne die Daten im erweiterten Flash-Speicher zu überschreiben. So bleiben unter anderem der werksmäßig definierte PSK und die UUID erhalten.

Um ein IEEE 802.15.4 Paket mit maximal 127 Byte Nutzdaten voll auszuschöpfen, wird hier auf den Einsatz der Block-1-Option verzichtet, und die neue Software in Blöcken von 46 Byte übertragen. Würde hier die Block-1-Option genutzt, müsste die Blockgröße 32 Byte betragen, womit sich die Anzahl der notwendigen Pakete um ~50 % erhöhen würde. Damit der Block identifiziert werden kann, wird vor jedem Block ein zwei Byte langer Index übertragen. Ist dieser null, handelt es sich um den ersten Block und der Flash-Speicher wird gelöscht, damit die neue Software dort hinterlegt werden kann. Hat der Index den Wert 0xFFFF folgen keine weiteren Blöcke und das Endgerät wird neu gestartet.

Das führt zum Verlust der Session-Daten, wodurch ein Handshake erneut erforderlich ist. Um dies zu verhindern ist es zukünftig denkbar, die erforderlichen Daten vor einem Neustart zu sichern, um diese im Anschluss wieder herzustellen.

Bedingt durch die zuverlässige Übertragung durch CoAP kann der Client sicherstellen, dass alle Datenblöcke angekommen sind, bevor der Neustart ausgelöst wird. Ein Risiko besteht jedoch darin, dass das Endgerät ausgeschaltet wird, bevor die Übertragung der neuen Software beendet ist. Kommt es dazu, wird das Endgerät nicht mehr starten und es ist die Verbindung mit einem Computer notwendig, um eine neue Software aufzuspielen. Um dieses Risiko zu vermeiden, wäre es notwendig, die neue Software zunächst zu speichern, ohne die alte zu löschen, um im Anschluss auf die neue Software umzuschalten. Dies ist jedoch aufgrund des begrenzten Speicherplatzes nicht möglich.

5.2 Client

Als Grundlage für den Clienten wird die Implementierung aus dem Bachelorprojekt GOBI übernommen. Diese ist in der Lage, die im Sensornetz eingebundenen Endgeräte vom Border-Router abzurufen, und in einer Liste darzustellen. Über den Listen-Index ist es dann möglich, mit den Endgeräten zu kommunizieren, so dass nicht jedesmal die IP-Adresse angegeben werden muss.

Während der Client bisher direkt über UDP mit den Endgeräten kommuniziert hat, wird nun die libcoap [Ber13a] genutzt, um eine Kommunikation über CoAP zu realisieren. Da es in dieser Arbeit primär um die Realisierung von DTLS gehen soll, wird der CoAP-Client, aus den in der Bibliothek enthaltenen Beispielen, übernommen, und für die Verwendung angepasst. Anpassungen sind hier notwendig da der CoAP-Client ein Kommandozeilen-Tool ist. Die enthaltenen `main()`-Methode wird dafür umbenannt, und die Ausgabe der Antwort erfolgt in den vom Aufrufer übergebenen Speicher. Außerdem wird die fehlende Funktionalität ergänzt, Antworten mit einer Block-2-Option zu empfangen, die auf eine Separate-Antwort oder eine Block-1-Anfrage folgen. Hier übernimmt der Server die Kontrolle über die Datenübertragung, während der Client Empfangsbestätigungen sendet. Eine Block-1-Anfrage wird nicht durch den CoAP-Clienten selbst realisiert, sondern muss manuell, durch mehrere Anfragen, umgesetzt werden. Dieser erweiterte CoAP-Client ist nicht für die Verwendung in anderen Projekten gedacht, und soll hier nur als provisorisches Werkzeug dienen, um DTLS zu realisieren.

Für die Berechnung von elliptischen Kurven wird direkt der Code, aus dem Bachelorprojekt GOBI, von Jens Trillmann übernommen. Weitere Anpassungen sind hier nicht notwendig, da die Berechnung auf einem gängigen Computer mit ausreichender Geschwindigkeit durchgeführt wird.

Die AES-Verschlüsselung erfolgt auf der Serverseite durch den MC13224v. Da dieser hier nicht verfügbar ist, wird dafür die „crypto“-Bibliothek von OpenSSL [Ope13] genutzt.

Nach dem Vorbild von libcoap, sind die Module von DTLS ebenfalls in einem Archiv organisiert, das der Linker beim Kompilieren des Clients einbindet.

Bei Start des Clients, ruft dieser die Liste der verfügbaren Endgeräte vom Border-Router ab, so das folgende Aktionen möglich sind: „[handshake | name | ecc | uuid | time | model | flash] <nr>“. Bevor Informationen von einem Endgerät abgerufen werden können, muss ein Handshake durchgeführt werden. Ohne diesen versucht der Client derzeit, Anwendungsdaten in Epoche *o* zu übertragen, was vom Server nicht akzeptiert, und mit einer Alert-Nachricht beantwortet wird. Da Alert-Nachrichten noch nicht vom Client berücksichtigt werden, wird die Anfrage deshalb nach 90 Sekunden durch den CoAP-Client mit einem Fehler abgebrochen. Neben der Berücksichtigung von Alert-Nachrichten ist es auch noch notwendig, den Versand von Anwendungsdaten in Epoche *o* generell zu verhindern. Diese Dinge wurden bisher vernachlässigt, da der Fokus auf eingeschränkten Umgebungen, und somit auf Seite des Servers, liegt.

5.3 Entwicklungsumgebung

Für die Erstellung der Programme und die Weiterentwicklung von einigen Werkzeugen wird im Allgemeinen Ubuntu 12.04.2 LTS (32 bit) benutzt. Damit bei einem Betrieb der Endgeräte an einem Windows-Recher ebenfalls die vom Redbee Econotag an die USB-Schnittstelle gesendeten Daten abgerufen werden können, wird ein Skript für die Windows-PowerShell-Umgebung erstellt, wofür zusätzliche Treiber notwendig sind.

Im Bachelorprojekt GOBI wurde die libmc1322x [Alv13] angepasst, damit die von Blaster produzierten Dateien auf den MC13224v geladen werden können. Um diesen Flash-Vorgang durchzuführen, sind zwei Komponenten notwendig. Zum einen ist dies eine Software für den MC13224v, Flasher genannt, die zuerst in den RAM-Speicher übertragen wird, um im Anschluss die Software für das Endgerät anzunehmen, und im Flash-Speicher abzulegen. Zum anderen ist dies eine Software, Loader genannt, die sowohl die erste Software als auch die Software für das Endgerät per USB an den MC13224v sendet. Während der Flasher ausschließlich in C implementiert ist, sind für den Loader eine C-Variante und eine Perl-Variante verfügbar. Angepasst wurden im Bachelorporjekt GOBI nur die beiden C-Programme, wobei diese sich ausschließlich für von Blaster produzierte Dateien eignen. Um diese Situation zu verbessern, werden die beiden C-Programme und das Perl-Programm erneut angepasst. Zur Gewährleistung der Abwärtskompatibilität, sind beide Varianten so angepasst, dass ohne weitere Aktionen die gängigen Dateien übertragen werden können. Erst durch Nutzung des Parameters -l bei einem Flash-Vorgang, wird das von Blaster produzierten Dateiformat berücksichtigt. Zusätzlich wird in die libmc1322x eine Methode eingefügt, die den Neustart des MC13224v ermöglicht. Die Methode zum Vergleich von Daten im RAM-Speicher mit Daten im Flash-Speicher aus dem Bachelorprojekt GOBI, wird übernommen. Die Änderungen an der libmc1322x sind in einem Fork des originalen Repositories veröffentlicht, und wurden dem Autor der Bibliothek, Mariano Alvira, zur Übernahme angeboten. Zum 10.11.2013 hat dieser die Änderungen übernommen.

Um die Überwachung in Wireshark [Fou13] angemessen zu realisieren, wird ein Dissector ergänzt. Dieser wertet die übertragenen Daten des angepassten DTLS-Protokolls aus und stellt diese übersichtlich dar. Da die Übertragung des ersten Handshakes unverschlüsselt erfolgt, werden die Daten aus Epoche *o* an den bereits enthaltenen CoAP-Dissector weitergereicht, so dass diese ebenfalls dargestellt werden. Da der CoAP-

Dissector blockweise übertragene Daten nicht zusammensetzt, ist eine Darstellung der Handshake-Daten selbst bisher nicht möglich.

Für den Server, den Border-Router und den Sniffer sind die Make-Regeln clear und upload verfügbar. upload überträgt die Programme in den Flash-Speicher des Redbee Econotag, während clear den Flash-Speicher löscht. Für die beiden Vorgänge ist generell /dev/ttyUSB1 vorgesehen. Um die, an die USB-Schnittstelle gesendeten, Daten des Servers abzurufen, kann die Regel listen verwendet werden. Die Netzwerkbrücke zur Inbetriebnahme des Border-Routers wird mit der Regel border erzeugt. Für den Sniffer sind schließlich die Regeln listen und listen2 vorhanden. listen leitet die Daten direkt in Wireshark, während listen2 die Daten in die Datei cap.pcap schreibt.

Evaluation

In den folgenden Abschnitten sollen die Anpassungen von DTLS bewertet werden. Die Sicherheit von DTLS wird als gegeben betrachtet, wobei die Nutzung der Block-1-Option von CoAP bezüglich dieser diskutiert werden soll. Während der Datenverkehr direkt mit dem von DTLS im Original verglichen wird, geht es bei der Programmgröße und der Dauer des Handshakes um die Praxistauglichkeit.

6.1 Sicherheit

Der in Abschnitt 2.1 beschriebene Cookie soll den Absender validieren und so DoS-Angriffe verhindern. Dabei liegt der Fokus darauf, die Erstellung einer Session durch einen Angreifer zu vermeiden, da dieser so die Ressourcen des Endgeräts aufbrauchen könnte. Diese Funktion ist auch bei der Realisierung des Handshakes über CoAP gegeben. Durch die Verwendung der Block-1-Option treten jedoch neue Angriffsmöglichkeiten auf, die in dieser Arbeit nicht verhindert werden konnten. Die CoAP-Ressource für den DTLS-Handshake akzeptiert, aufgrund der begrenzten Ressourcen, nur eine Anfrage zur Zeit. Eine Anfrage kann jedoch aus mehreren CoAP-Paketen mit der Block-1-Option bestehen. Während die Datenblöcke gesammelt werden, ist die Ressource für alle anderen Anfragen gesperrt. Zwar wird die Ressource nach 60 Sekunden freigegeben, falls die Anfrage nicht beendet wurde, was einem Angreifer jedoch die Möglichkeit offen lässt, alle 60 Sekunden eine neue Anfrage zu senden und die Ressource erneut zu sperren.

Um Angriffe dieser Art zu verhindern, ist es notwendig, für den ersten Validierungsprozess auf die Nutzung der Block-1-Option zu verzichten, oder dafür ausschließlich die Daten im ersten Datenblock zu nutzen. Letzteres wäre möglich, durch die Anpassung der ClientHello-Nachricht, wie in Abbildung 6.1 dargestellt. Dort wird gleich hinter der Version ein Hash, der aus ClientHello-Nachricht ohne Hash und Cookie resultiert, hinterlegt, worauf direkt der Cookie folgt.

Ausgehend von einem 16 Byte langen Hash-Wert und einem 8 Byte langen Cookie, passen diese Werte exakt in den ersten 32 Byte großen Block. Fehlt dort der Cookie, kann die HelloVerifyRequest-Nachricht auf Basis des Hash-Wertes sofort berechnet und versendet werden. Der Client kann die Anfrage somit umgehend,

```
struct {
    ProtocolVersion client_version;
    opaque client_hello_hash<0..2^8-1>;           // New field
    opaque cookie<0..2^8-1>;                       // New field
    Random random;
    SessionID session_id;
    CipherSuite cipher_suites<2..2^16-1>;
    CompressionMethod compression_methods<1..2^8-1>;
} ClientHello;
```

Abbildung 6.1 Alternative zur ClientHello-Nachricht

inklusive dem Cookie, erneut beginnen. Wie im nächsten Abschnitt zu sehen, würde dies sogar den Versand von 2 Datenpaketen einsparen. Außerdem ist es auf Serverseite nicht mehr notwendig, den Hash-Wert der vollständigen ClientHello-Nachricht zu berechnen, was weitere Ressourcen spart. Falls sich eine Überbrückung des Hash-Wertes als notwendig erweist, kann dieser trotzdem berechnet und verglichen werden.

6.2 Datenverkehr während des Handshakes

Um einen fairen Vergleich durchzuführen, wird neben dem originalen DTLS auch eine DTLS-Version mit Stateless-Header-Compression herangezogen. Dazu werden in den folgenden drei Abschnitten die Datenmengen ermittelt, während im vierten Abschnitt der Vergleich erfolgt. Die Datenmengen basieren auf einem Handshake, bei dem weder Paketverluste, noch Angriffe von Dritten oder andere Fehler auftreten.

Das Umfeld ist in allen Fällen konstant. In einem IEEE 802.15.4 Paket lassen sich maximal 127 Byte Nutzdaten versenden. Davon werden 48 Byte für den 6LoWPAN-Header und acht Byte für den UDP-Header benötigt, so dass 71 Byte pro Paket für den DTLS-Handshake verbleiben. Um den Vergleich auf das Wesentliche zu reduzieren, gehen in den Vergleich zunächst nur die DTLS-Daten selbst ein. Die genannten Header werden dann als „Anzahl der benötigten Pakete“ in den Vergleich mit aufgenommen.

Die in dieser Arbeit genutzte Cipher-Suite dient als Basis für die Ermittlung der Datenmengen. Zu beachten ist hier, dass die dort definierte PRF keinen Einfluss auf die Datenmenge hat. Für den Handshake sind generell die in Abbildung 6.2 aufgeführten Nachrichten mit den dort angegebenen Größen erforderlich.

Darauf basierend werden nun die Datenmengen für alle drei Verfahren ermittelt, wobei in Epoche 0, ohne jegliche Verschlüsselung, begonnen wird. In den Abbildungen sind die übertragenen Pakete zur besseren Übersicht jeweils in drei Gruppen eingeteilt. Jede Gruppe beinhaltet eine vollständige Anfrage des Clients, sowie die vollständige Antwort des Servers.

Typ	Abkürzung	Größe
ClientHello ohne Cookie	CHoC	57 Byte
HelloVerifyRequest	HVR	11 Byte
ClientHello mit Cookie	CHmC	65 Byte
ServerHello	SH	56 Byte
ServerKeyExchange	SKE	87 Byte
ServerHelloDone	SHD	0 Byte
ClientKeyExchange	CKE	87 Byte
ChangeCipherSpec	CCS	1 Byte
Finished	FI	12 Byte

Abbildung 6.2 Größe der Handshake-Nachrichten

6.2.1 DTLS mit Anpassungen

Der Handshake über CoAP, gemäß Abbildung 3.2, erfordert die Übertragung von 30 Datenpaketen, die in Abbildung 6.3 dargestellt sind. Gemäß Abschnitt 3.2 wird eine CoAP-Blockgröße von 32 Byte benutzt. Diese Blockgröße ermöglicht im Allgemeinen auch dann noch einen Handshake, wenn der DTLS-Header die maximale Größe von 15 Byte annimmt, und der acht Byte lange MAC bei einer verschlüsselten Datenübertragung hinzukommt. Kritisch wird es nur bei Nachricht 5 gemäß Abbildung 3.2. Da dort die URI für die Sub-Ressource angegeben wird, die als zusätzliche CoAP-Option angehängt wird, reicht der Platz im Datenpaket nicht mehr aus. Um dies zu vermeiden, müsste auf die Modellierung von Sessions als Sub-Ressource verzichtet werden und, falls es zu einer Fortsetzung einer Session kommt, die Session-ID weiterhin in der ClientHello-Nachricht übertragen werden. Für die Nachricht 5 stellt dies kein Problem dar, da die Session-ID in diesem Schritt nicht benötigt wird.

Zusätzlich zu den übertragenen Handshake-Nachrichten, sind in der letzten Spalte die enthaltenen CoAP-Optionen angegeben. B1 und B2 stehen für die jeweiligen Block-Optionen, während CT die Content-Type-Option beschreibt.

Der Record-Header nimmt hier generell drei Byte in Anspruch. Zwei Byte beinhalten den komprimierten Record-Header, während die Sequenznummer in einem extra Byte angehängt werden muss. Der CoAP-Header ist minimal vier Byte groß. Während bei einer Anfrage der URI und, je nach Datenmenge, die Block-1-Option hinzukommen, sind dies bei einer Antwort der Content-Type und die Block-2-Option. Entsprechend der Anzahl der enthaltenen Handshake-Nachrichten kommt der Content-Header mit jeweils zwei Byte hinzu. Dieser setzt sich aus dem ein Byte langem komprimierten Content-Header, und der ein Byte langen Längenangabe zusammen. Die einzige Ausnahme bildet hier der Content-Header für die Finished-Nachricht, der mit einem Byte auskommt, da die Finished-Nachricht eine Länge von 0 hat.

Insgesamt müssen 810 Byte in 30 Paketen übertragen werden. Zu beachten ist, dass 14 Pakete mit 116 Byte CoAP spezifisch sind und keinerlei Handshake-Daten enthalten. Diese müssen zwar berücksichtigt werden, sind aber dennoch eine separate Betrachtung wert. Ohne diese verbleiben 16 Pakete mit 694 Byte. Auffällig ist auch, dass die Nachricht 5 in vier Blöcke unterteilt werden muss, und so der URI entsprechend oft wiederholt

Nr.	<->	Record-Header	CoAP-Header	Content-Header	Handshake-Daten	CoAP-Optionen und Inhalt
1	->	3	13	2	30	URI, B1, CHoC [1/2]
2	<-	3	7			B1
3	->	3	13		27	URI, B1, CHoC [2/2]
4	<-	3	10	2	11	CT, B1, HVR
5	->	3	13	2	30	URI, B1, CHmC [1/3]
6	<-	3	7			B1
7	->	3	13		32	URI, B1, CHmC [2/3]
8	<-	3	7			B1
9	->	3	13		3	URI, B1, CHmC [3/3]
10	<-	3	4			EMPTY (Separate Antwort)
11	<-	3	11	5	27	CT, B1, B2, (SH, SKE, SHD) [1/5]
12	->	3	4			EMPTY
13	<-	3	9		32	CT, B2, (SH, SKE, SHD) [2/5]
14	->	3	4			EMPTY
15	<-	3	9		32	CT, B2, (SH, SKE, SHD) [3/5]
16	->	3	4			EMPTY
17	<-	3	9		32	CT, B2, (SH, SKE, SHD) [4/5]
18	->	3	4			EMPTY
19	<-	3	9		20	CT, B2, (SH, SKE, SHD) [5/5]
20	->	3	4			EMPTY
21	->	3	22	6	26	URI, B1, (CKE, CCS, FI) [1/4]
22	<-	3	7			B1
23	->	3	22		32	URI, B1, (CKE, CCS, FI) [2/4]
24	<-	3	7			B1
25	->	3	22		32	URI, B1, (CKE, CCS, FI) [3/4]
26	<-	3	7			B1
27	->	3	22		18	URI, B1, (CKE, CCS, FI) [4/4]
28	<-	3	4			EMPTY (Separate Antwort)
29	<-	3	10	4	21	CT, B1, CCS, FI
30	->	3	4			EMPTY
	<->	90	294	21	405	Gesamt 810

Abbildung 6.3 Datenaustausch in Byte während eines Handshake mit angepasstem DTLS

wird. Würde auf die Modellierung der Sessions als Sub-Ressource verzichtet werden, könnten in diesem Fall weitere 36 Byte eingespart werden.

6.2.2 DTLS

Der Handshake, gemäß Abbildung 2.3, erfordert die Übertragung von 18 Datenpaketen, die in Abbildung 6.4 dargestellt sind. Während im letzten Abschnitt die Menge der Daten in einem Paket durch die Blockgröße von CoAP vorgegeben war, muss diese hier ermittelt werden. Ausgehend von den genannten 71 Byte pro Paket, sind 13 Byte für einen maximalen Record-Header, und 12 Byte für einen maximalen Handshake-Header zu berücksichtigen. Ebenfalls muss ein acht Byte langer MAC berücksichtigt werden. Insgesamt stehen somit in einem Paket 38 Byte für Handshake-Daten zur Verfügung.

Nr.	<->	Record-Header	Content-Header	Handshake-Daten	Inhalt
1	->	13	12	38	CHello ohne Cookie [1/2]
2	->	13	12	19	CHello ohne Cookie [2/2]
3	<-	13	12	11	HelloVerifyRequest
4	->	13	12	38	CHello mit Cookie [1/2]
5	->	13	12	27	CHello mit Cookie [2/2]
6	<-	13	12	38	SHello [1/2]
7	<-	13	12	18	SHello [2/2]
8	<-	13	12	38	SKeyExchange [1/3]
9	<-	13	12	38	SKeyExchange [2/3]
10	<-	13	12	11	SKeyExchange [3/3]
11	<-	13	12	0	SHelloDone
12	->	13	12	38	CKeyExchange [1/3]
13	->	13	12	38	CKeyExchange [2/3]
14	->	13	12	11	CKeyExchange [3/3]
15	->	13		1	ChangeCipherSpec
16	->	13	12	20	Finished inklusive 8 Byte MAC
17	<-	13		1	ChangeCipherSpec
18	<-	13	12	20	Finished inklusive 8 Byte MAC
	<->	234	192	405	Gesamt 831

Abbildung 6.4 Datenaustausch in Byte während eines Handshake mit DTLS

Für den Record-Header werden generell 13 Byte benötigt, während der Handshake-Header 12 Byte beansprucht. Die Ausnahme bildet hier die ChangeCipherSpec-Nachricht. Diese ist keine Handshake-Nachricht, womit hier der Handshake-Header wegfällt. Entsprechend der maximalen Datenmenge von 38 Byte sind die Handshake-Nachrichten auf mehrere Pakete verteilt. Insgesamt werden 18 Pakete mit 831 Byte übertragen.

6.2.3 DTLS mit Stateless-Header-Compression

In diesem Abschnitt wird der Handshake, gemäß Abbildung 2.3, mit einer Stateless-Header-Compression analysiert. Dieser erfordert, wie auch der Handshake aus dem vorigen Abschnitt, die Übertragung von 18 Datenpaketen, die in Abbildung 6.5 dargestellt sind. Die Stateless-Header-Compression wird dabei direkt aus dem IETF-Entwurf [HB12, Kapitel 3] übernommen.

Die maximale Datenmenge wird ebenfalls ausgehend von 71 Byte ermittelt. Neben dem 8 Byte langem MAC müssen dort der maximale Record-Header mit 15 Byte, und der maximale Handshake-Header mit 14 Byte, berücksichtigt werden, so dass 34 Byte pro Paket verbleiben.

Nr.	<->	Record-Header	Content-Header	Handshake-Daten	Inhalt
1	->	3	4	34	CHello ohne Cookie [1/2]
2	->	3	4	23	CHello ohne Cookie [2/2]
3	<-	3	2	11	HelloVerifyRequest
4	->	3	4	34	CHello mit Cookie [1/2]
5	->	3	4	31	CHello mit Cookie [2/2]
6	<-	3	4	34	SHello [1/2]
7	<-	3	4	22	SHello [2/2]
8	<-	3	4	34	SKeyExchange [1/3]
9	<-	3	4	34	SKeyExchange [2/3]
10	<-	3	4	19	SKeyExchange [3/3]
11	<-	3	2	0	SHelloDone
12	->	3	4	34	CKeyExchange [1/3]
13	->	3	4	34	CKeyExchange [2/3]
14	->	3	4	19	CKeyExchange [3/3]
15	->	3		1	ChangeCipherSpec
16	->	3	2	20	Finished inklusive 8 Byte MAC
17	<-	3		1	ChangeCipherSpec
18	<-	3	2	20	Finished inklusive 8 Byte MAC
	<->	54	56	405	Gesamt 515

Abbildung 6.5 Datenaustausch in Byte während eines Handshake mit DTLS und Stateless-Header-Compression

Wie auch in Abschnitt 6.2.1 werden für den Record-Header drei Byte benötigt. Neben dem zwei Byte langen komprimiertem Record-Header, wird dort die ein Byte lange Sequenznummer übertragen. Der Handshake-Header kommt generell mit zwei Byte, ohne weitere Anhänge, aus, falls die Handshake-Nachrichten klein genug sind, um in einem Paket übertragen zu werden. Müssen diese in mehrere Teile unterteilt werden, kommt eine ein Byte lange Gesamtlänge, sowie ein ein Byte langer Offset hinzu. Diese Angaben sind notwendig, um die einzelnen Teile wieder zusammenzusetzen. Wie auch im letzten Abschnitt, wird für die ChangeCipherSpec-Nachricht kein Handshake-Header benötigt. Insgesamt werden 18 Pakete mit 515 Byte übertragen.

6.2.4 Vergleich

In Abbildung 6.6 sind im oberen Bereich nun alle drei Varianten gegenübergestellt, wobei im unteren Bereich die denkbaren Alternativen und Betrachtungsweisen aufgeführt sind. In der letzten Spalte sind zusätzlich die die Header von 6LoWPAN und UDP, mit insgesamt 56 Byte pro Paket, berücksichtigt.

Variante	Pakete	Datenmenge	Gesamt
DTLS mit Anpassungen	30	810	2490
DTLS	18	831	1839
DTLS mit Stateless-Header-Compression	18	515	1523
DTLS mit Anpassungen (ohne CoAP-ACK)	16	694	1590
DTLS mit Anpassungen (ohne Sub-Ressource)	30	774	2454
DTLS mit Anpassungen (ohne Sub-Ressource und CoAP-ACK)	16	658	1554

Abbildung 6.6 Vergleich der drei Varianten

Die angepasste DTLS-Variante schneidet bezüglich der Anzahl der benötigten Pakete zunächst am schlechtesten ab. Jedoch muss berücksichtigt werden, dass 14 Pakete davon CoAP-Pakete sind, die keine Handshake-Daten enthalten. Diese ermöglichen eine zuverlässige blockweise Datenübertragung, so dass dafür im Gegenzug einiges an Programmcode wegfällt, der diese Dinge ausgleichen müsste. Mit den verbleibenden 16 Paketen liegt die angepasste CoAP-Variante vorne. Zwei Pakete weniger sind hier nötig, da die Handshake-Nachrichten kompakt in CoAP-Paketen aneinander gehängt werden, wodurch das verfügbare Volumen der Datenpakete maximal ausgenutzt wird.

Werden die DTLS spezifischen Datenmengen verglichen, schneidet die angepasste DTLS-Variante besser ab als das originale DTLS. DTLS mit Stateless-Header-Compression ist jedoch, bezogen auf die Datenmenge, am effizientesten, da hier keine CoAP-Header übertragen werden.

6.3 Programmgröße

In Abbildung 6.7 sind zunächst die Ausgangs-Werte aus Abschnitt 5.1 im Vergleich mit den Werten inklusive der DTLS-Implementierung aufgeführt. Daraus ergibt sich, dass für die Funktionen des Endgeräts 4407 Byte (4,30 KiB) verbleiben.

Der Zuwachs im Datensegment resultiert mit 128 Byte aus dem, für die Behandlung der Block-1-Option notwendigen, Speicher, in dem die Datenblöcke gesammelt und zusammen gesetzt werden. Außerdem werden 80 Byte benötigt um je zwei Sequenznummern für die maximal 10 Sessions abzulegen. Von den 11248 Byte zusätzlichem Programmcode, setzen sich 9114 Byte aus den folgen Komponenten zusammen:

- 2848 Byte Handshake-Ressource
- 2144 Byte ECC-Funktionen
- 1056 Byte Parse & Send

Beschreibung	Basis	mit DTLS	Differenz
Programm	58760 Byte	70008 Byte	11248 Byte
Irq Stack	256 Byte	256 Byte	0 Byte
Fiq Stack	256 Byte	256 Byte	0 Byte
Svc Stack	256 Byte	256 Byte	0 Byte
Abt Stack	16 Byte	16 Byte	0 Byte
Und Stack	16 Byte	16 Byte	0 Byte
Sys Stack	2048 Byte	2048 Byte	0 Byte
Datensegment	20744 Byte	21025 Byte	281 Byte
Heap	16 Byte	16 Byte	0 Byte
Gesamt	82368 Byte 80,44 KiB	93897 Byte 91,70 KiB	11529 Byte 11,26 KiB

Abbildung 6.7 Speicheraufteilung von SmartAppContiki ohne und mit DTLS

- 896 Byte Session-Verwaltung
- 824 Byte Flash-Speicher-Funktionen
- 332 Byte AES-CMAC
- 328 Byte AES-CCM
- 310 Byte AES
- 192 Byte CoAP-Block-1-Handler
- 184 Byte PRF

Die übrigen 2134 Byte setzen sich zusammen aus kleineren Anpassungen in CoAP, und einigen Ressourcen zum Abruf von gerätespezifischen Daten, sowie jeweils einer Ressource für das Update der Realzeit und der Software. Zu beachten ist auch, dass weitere 1400 Byte im Flash-Speicher genutzt werden, um die Daten von 10 Sessions abzulegen. Auch sind dort 96 Byte genutzt, die den Basispunkt und die Ordnung der elliptischen Kurve enthalten.

Es hat sich gezeigt, dass von den 2048 Byte des System-Stacks nur maximal 1504 Byte genutzt werden. Sollte weiterer Speicher benötigt werden, könnte der System-Stack auf 1536 Byte begrenzt werden, wodurch weitere 0,5 KiB an Speicher verfügbar wären.

Im IETF-Entwurf „A Hitchhiker’s Guide to the (D)TLS Protocol“ [TKK13] werden Programmgrößen für einzelne Funktionen aufgeführt, die sich jedoch nicht zum direkten Vergleich eignen, da diese für eine 64-bit-Architektur kompiliert wurden. Um einige Programmgrößen zu ermitteln wird deshalb TinyDTLS [Ber13b] herangezogen und mit Contiki kompiliert. Die aktuelle Version ist ~7 KiB zu groß für den MC13224v und konnte somit nicht getestet werden. Für die Ermittlung der Programmgrößen einzelner Komponenten reicht dies jedoch aus. Einige nennenswerte Komponenten sind in Abbildung 6.8 aufgeführt.

AES benötigt neben 1692 Byte Programmcode 4096 Byte im Datensegment für einige Konstanten. Es zeigt sich hier also, dass die AES-Unterstützung des MC13224v wesentlich für das Gelingen dieser Realisierung ist. Eine Software-Lösung wäre zu groß für den zur Verfügung stehenden Platz.

Komponente	Programmgröße	Datensegment
AES	1692 Byte	4096 Byte
SHA2	1072 Byte	288 Byte
HMAC	348 Byte	0 Byte
PRF	504 Byte	0 Byte

Abbildung 6.8 Größe einiger nennenswerter Komponenten aus TinyDTLS

Anders verhält es sich mit der genutzten PRF. Ersetzt man die genutzte PRF und die dafür notwendige AES-CMAC-Funktion durch die TinyDTLS-Komponenten PRF, HMAC und SHA2 wird das Programm um 1696 Byte (1,66 KiB) größer. Dadurch würden immer noch mehr als 2,5 KiB Speicher zur Verfügung stehen, um Funktionen des Endgeräts zu realisieren. Von Vorteil wäre dies, da somit die in DTLS definierte PRF benutzt wird, und die Definition der PRF in der benutzen Cipher-Suite überflüssig ist.

6.4 Dauer

Der Handshake dauert unter idealen Bedingungen insgesamt 10 Sekunden wobei dort zwei Faktoren eine wesentliche Rolle spielen. Zum einen werden während des Handshakes zwei Multiplikationen auf elliptischen Kurven durchgeführt, wobei eine Multiplikation derzeit 0,5 Sekunden dauert. Zum anderen sind während des Handshakes drei Schreiboperationen, in die RW-Blöcke des Flash-Speichers, notwendig, die insgesamt 0,6 Sekunden benötigen. Abzüglich dieser Operationen verbleiben 0,4 Sekunden, die für den Datenaustausch und weitere Berechnungen benötigt werden.

Beachtet werden muss auch, dass, bei der ersten Anfrage nach dem Handshake, eine weitere Schreiboperation in den RW-Block des Flash-Speichers notwendig ist. Diese ist notwendig, um die Sicherheitsparameter der neuen Epoche final zu aktivieren und die alten Sicherheitsparameter zu löschen. Dadurch verzögert sich die Antwort um 0,2 Sekunden.

Ausgehend von dem Szenario, dass neue Endgeräte bei Aktivierung von einer zentralen Software erkannt werden, die einen Handshake unmittelbar durchführt, wird ein Benutzer davon nichts mitbekommen.

Fazit

Abschließend lässt sich sagen, dass es gelungen ist, DTLS so anzupassen, dass es sich für den Einsatz auf dem Redbee Econotag mit dem MC13224v Mikrocontroller eignet. Das gesamte Programm ist ausreichend klein, um die Funktionalitäten der Endgeräte selbst ergänzen zu können. Trotz der Anpassungen sind die Elemente von DTLS nach wie vor erhalten.

Möglich wurde dies unter anderem durch die Nutzung des Flash-Speichers zur Ablage der Session-Daten. Insgesamt sind 148 Byte pro Session notwendig, von denen sich 140 Byte für die Ablage im Flash-Speicher eignen. Durch die Begrenzung auf maximal zehn Sessions werden 1400 Byte im Flash-Speicher genutzt. Dabei hat ein Anwender, durch die genutzte Cipher-Suite und den Wechsel des PSK, die volle Kontrolle über die Nutzung dieser zehn Sessions. Sind mehr als zehn Sessions erforderlich, erlauben die, auf dem Redbee Econotag verfügbaren, Ressourcen eine Erweiterung auf mehr als 50 Sessions. Soll auf die Nutzung des Flash-Speichers verzichtet werden, wäre es auch denkbar, die Anzahl der Sessions weiter zu reduzieren und die Daten vollständig im RAM-Speicher abzulegen.

In der Evaluation hat sich jedoch gezeigt, dass weitere Verbesserungen möglich sind. So ist die blockweise Übertragung der Handshake-Daten durch CoAP eine gute Lösung, während in Kombination mit dieser, die Modellierung der DTLS-Sessions als CoAP-Ressource keine Option ist. Auch werden durch die blockweise Übertragung neue DoS-Angriffe ermöglicht, die der in DTLS definierte Cookie nicht verhindern kann. Ein Idee, um diesem entgegen zu wirken, konnte in dieser Arbeit erarbeitet werden, wurde jedoch praktisch noch nicht umgesetzt.

Im IETF-Entwurf „Practical Issues with Datagram Transport Layer Security in Constrained Environments“ [Har13] von K. Hartke sind einige weitere Lösungsansätze aufgeführt. Dieser Entwurf ist erst kurz vor Fertigstellung dieser Arbeit erschienen, und wurde deswegen nicht mehr berücksichtigt. Trotzdem soll hier auf einen Vorschlag dieses Entwurfs eingegangen werden, der die Verwendung von Bestätigungsnachrichten (Acknowledgements) beschreibt. Dieses Verfahren kommt dem Verhalten von CoAP sehr nahe. Von Vorteil ist dieser Vorschlag, da sich DTLS auch in eingeschränkten Umgebungen ohne CoAP realisieren lässt. Dort wo CoAP Verwendung findet, würde dies den Programmcode jedoch unnötig vergrößern, da die Mechanismen in CoAP bereits zur Verfügung stehen. Da die Acknowledgement-Nachrichten von CoAP, während

des DTLS-Handshakes, in der Evaluation dieser Arbeit auch separat betrachtet werden, liefert diese Arbeit für zukünftige DTLS-Implementierungen, ohne CoAP und mit Acknowledgements, Vergleichsmaterial.

Zukünftig sind weitere Optimierungen von Contiki denkbar. Die in dieser Arbeit vorgenommenen Anpassungen der Stack- und Heap-Größe, sind nur einige der möglichen Optionen. Neben dem System-Stack, beinhaltet Contiki fünf weitere Stacks, deren Größe noch zu überprüfen ist. Auch ist mit den richtigen Compileroptionen eine weitere Reduzierung der Programmgröße möglich. So hat sich gezeigt, dass durch entfernen der Option `-mcallee-super-interworking` 4,32 KiB eingespart werden kann. Diese ermöglicht generell den Aufruf, der im 16-Bit-Modus kompilierten Funktionen, durch 32-Bit-Code. Da dies im Allgemeinen gar nicht notwendig ist, scheint diese überflüssig. Auch wenn diese Anpassungen noch gründlich überprüft werden müssen, zeigt dies, dass mehr Raum für weiteren Programmcode geschaffen werden kann.

Wünschenswert ist die Verwendung der, in dieser Arbeit entstandenen, DTLS-Variante im Masterprojekt GOBI. Dort kann sich diese im praktischen Einsatz bewähren, während die genannten Verbesserungen im Projektverlauf realisiert werden können.

Akronyme

6LoWPAN IPv6 over Low power Wireless Personal Area Network, S. 2, 15, 38, 43

ACK Acknowledgement, S. 15

AEAD Authenticated Encryption with Associated Data, S. 4, 21

AES Advanced Encryption Standard, S. 4, 19–22, 24, 28, 29, 34, 44, 45

CBC Cipher Block Chain, S. 4, 28

CCM Counter with CBC-MAC, S. 4, 19–21, 28, 29, 44

CMAC Cipher-based Message Authentication Code, S. 22, 28, 29, 33, 44, 45

CoAP Constrained Application Protocol, S. 1, 2, 4, 13–18, 24, 25, 32–35, 37, 39–41, 43, 44, 47, 48, 60

CTR Counter, S. 4, 28

DoS Denial-of-Service, S. 9, 37, 47

DTLS Datagram Transport Layer Security Protocol, S. 1–5, 7, 10, 13–19, 21, 23, 25, 26, 31, 34, 35, 37–39, 43, 45, 47, 48, 60

ECC Elliptic Curve Cryptography, S. 20, 21, 43, 60

HMAC Keyed-Hashing for Message Authentication, S. 20, 22, 45

IETF Internet Engineering Task Force, S. 1–4, 42, 44, 47

IPv6 Internet Protocol, Version 6, S. 2

MAC Message Authentication Code, S. 4, 14, 15, 21, 29, 39, 41, 42

NIST National Institute of Standards and Technology, S. 21

PIN Persönliche Identifikationsnummer, S. 23

PRF Pseudo-Random-Funktion, S. 20–23, 28, 32, 38, 44, 45

PSK Pre-Shared Key, S. 4, 8, 19, 20, 22–24, 32, 33, 47

RAM Random-Access Memory, S. 3

ROM Read-Only Memory, S. 3

SHA Secure Hash Algorithm, S. 19, 20, 22

SSL Secure Sockets Layer Protocol, S. 1

TCP Transmission Control Protocol, S. 1, 7

TLS Transport Layer Security Protocol, S. 1, 3, 7, 8, 10, 14, 18

UDP User Datagram Protocol, S. 1, 7, 8, 14, 15, 17, 34, 38, 43

URI Uniform Resource Identifier, S. 15, 16, 32, 33, 39

UUID Universally Unique Identifier, S. 23, 33

WoT Web of Things, S. 1

Glossar

Cipher-Suite

Gruppe aus 4 Algorithmen, die für Schlüsselaustausch, Authentifizierung, Hash und Verschlüsselung verwendet werden

S. 3, 4, 8, 9, 14, 18–23, 28, 32, 33, 38, 45, 47

Fragment

Beschreibt einen Teil eines Ganzen

S. 2

Fragmentierung

Beschreibt die Aufteilung eines Ganzen in kleinere Teile

S. 2

GOBI

Name eines studentischen Projekts an der Universität Bremen, das im Jahr 2012 als Bachelorprojekt begonnen hat und im Jahr 2013 als Masterprojekt forgesetzt wird

S. 1, 4, 20, 26, 28, 29, 34, 35, 48

Handshake

Beschreibt die Aushandlung von Sicherheitsparametern um eine sichere Verbindung herzustellen

S. 2–4, 7–10, 13–23, 25, 31–33, 35–43, 45, 47, 48, 57, 60

Man-in-the-middle-Angriff

Angriff auf eine Kommunikationsverbindung zwischen zwei Parteien, bei dem ein Angreifer die vollständige Kontrolle über den Datenverkehr der Verbindung übernimmt

S. 9, 20, 23

MC13224v

ARM7TDMI-S Microcontroller der Firma Freescale Semiconductor, Inc

S. 3, 4, 24, 27–30, 32, 34, 35, 44, 47, 60

RSA-Verfahren

Asymmetrisches kryptographisches Verfahren zur Verschlüsselung und Signatur, das nach seinen Er-

findern Rivest, Shamir und Adleman benannt ist
S. 19

Literaturverzeichnis

- [Alv13] Mariano Alvira. *Library code for the Freescale MC13224v ARM7 SoC with 802.15.4 radio*. Okt. 2013. URL: <https://github.com/malvira/libmc1322x>.
- [Ber13a] Olaf Bergmann. *libcoap: C-Implementation of CoAP*. Mai 2013. URL: <http://libcoap.sourceforge.net>.
- [Ber13b] Olaf Bergmann. *tinydtls 0.4.0*. Okt. 2013. URL: <http://tinydtls.sourceforge.net/>.
- [Bla+06] S. Blake-Wilson, N. Bolyard, V. Gupta, C. Hawk und B. Moeller. *Elliptic Curve Cryptography (ECC) Cipher Suites for Transport Layer Security (TLS)*. RFC 4492 (Proposed Standard). Internet Engineering Task Force, Mai 2006. URL: <http://tools.ietf.org/html/rfc4492>.
- [BS13] C. Bormann und Z. Shelby. *Blockwise transfers in CoAP*. Internet-Draft. Internet Engineering Task Force, Juni 2013. URL: <http://tools.ietf.org/html/draft-ietf-core-block>.
- [Coc09] Chris K Cockrum. *Implementation of an Elliptic Curve Cryptosystem on an 8-bit Microcontroller*. Apr. 2009. URL: http://cockrum.net/Implementation_of_ECC_on_an_8-bit_microcontroller.pdf.
- [Con13] Contiki-Community. *Contiki - The Open Source OS for the Internet of Things*. Mai 2013. URL: <http://www.contiki-os.org/>.
- [DH09] S. Deering und R. Hinden. *Internet Protocol, Version 6 (IPv6) Specification*. RFC 2460 (Proposed Standard). Internet Engineering Task Force, Dez. 2009. URL: <http://tools.ietf.org/html/rfc2460>.
- [DR08] T. Dierks und E. Rescorla. *The Transport Layer Security (TLS) Protocol Version 1.2*. RFC 5246 (Proposed Standard). Internet Engineering Task Force, Aug. 2008. URL: <http://tools.ietf.org/html/rfc5246>.
- [ET05] P. Eronen und H. Tschofenig. *Pre-Shared Key Ciphersuites for Transport Layer Security (TLS)*. RFC 4279 (Proposed Standard). Internet Engineering Task Force, Dez. 2005. URL: <http://tools.ietf.org/html/rfc4279>.
- [Fou13] Wireshark Foundation. *Wireshark*. ETH Zurich. Okt. 2013. URL: <http://www.wireshark.org/>.
- [Fre13] Freescale Semiconductor. *MC1322x - Advanced ZigBee™ - Compliant Platform-in-Package (PiP) for the 2.4 GHz IEEE® 802.15.4 Standard*. Mai 2013. URL: http://www.freescale.com/files/rf_if/doc/data_sheet/MC1322x.pdf.

- [Har13] K. Hartke. *Practical Issues with Datagram Transport Layer Security in Constrained Environments*. Internet-Draft. Internet Engineering Task Force, Okt. 2013. URL: <http://tools.ietf.org/html/draft-hartke-dice-practical-issues-00>.
- [HB12] K. Hartke und O. Bergmann. *Datagram Transport Layer Security in Constrained Environments*. Internet-Draft. Internet Engineering Task Force, Juli 2012. URL: <http://tools.ietf.org/html/draft-hartke-core-codtls-02>.
- [Hee13] Dimitri van Heesch. *Doxygen*. Aug. 2013. URL: <http://www.stack.nl/~dimitri/doxygen>.
- [Int13a] Internet Assigned Numbers Authority (IANA). *Service Name and Transport Protocol Port Number Registry*. Aug. 2013. URL: <http://www.iana.org/assignments/service-names-port-numbers/service-names-port-numbers.xhtml>.
- [Int13b] Internet Assigned Numbers Authority (IANA). *Transport Layer Security (TLS) Parameters*. Juli 2013. URL: <http://www.iana.org/assignments/tls-parameters/tls-parameters.xhtml>.
- [KK13] Harald Kipp und Sven Köhler. *ARM GCC Inline Assembler Cookbook*. Aug. 2013. URL: <http://www.ethernut.de/en/documents/arm-inline-asm.html>.
- [Kov13] Matthias Kovatsch. *Erbium (Er) REST Engine and CoAP Implementation for Contiki*. ETH Zurich. Mai 2013. URL: <http://people.inf.ethz.ch/mkovatsch/erbium.php>.
- [LAN11] LAN/MAN Standards Committee and IEEE Computer Society. *Low-Rate Wireless Personal Area Networks (LR-WPANs)*. IEEE 802.15.4-2011. IEEE Standards Association, Juni 2011. URL: <http://standards.ieee.org/getieee802/download/802.15.4-2011.pdf>.
- [MB12] D. McGrew und D. Bailey. *AES-CCM Cipher Suites for Transport Layer Security (TLS)*. RFC 6655 (Proposed Standard). Internet Engineering Task Force, Juli 2012. URL: <http://tools.ietf.org/html/rfc6655>.
- [McGo8] D. McGrew. *An Interface and Algorithms for Authenticated Encryption*. RFC 5116 (Proposed Standard). Internet Engineering Task Force, Jan. 2008. URL: <http://tools.ietf.org/html/rfc5116>.
- [McG+11] D. McGrew, D. Bailey, M. Campagna und R. Dugal. *AES-CCM ECC Cipher Suites for TLS*. Internet-Draft. Internet Engineering Task Force, Okt. 2011. URL: <http://tools.ietf.org/html/draft-mcgrew-tls-aes-ccm-ecc-06>.
- [Mon+07] G. Montenegro, N. Kushalnagar, J. Hui und D. Culler. *Transmission of IPv6 Packets over IEEE 802.15.4 Networks*. RFC 4944 (Proposed Standard). Internet Engineering Task Force, Sep. 2007. URL: <http://tools.ietf.org/html/rfc4944>.
- [Nato4] National Institute of Standards and Technology (NIST). *Recommendation for Block Cipher Modes of Operation: The CCM Mode for Authentication and Confidentiality*. NSP 800-38C. National Institute of Standards und Technology, Mai 2004. URL: <http://csrc.nist.gov/publications/nistpubs/800-38C/SP800-38C.pdf>.
- [Ope13] OpenSSL-Community. *OpenSSL - Cryptography and SSL/TLS Toolkit*. Okt. 2013. URL: <http://www.openssl.org/>.
- [Red13] Redwire, LLC. *Econotag: mc13224v development board with on-board debugging*. Mai 2013. URL: <http://www.redwirellc.com/store/node/1>.

- [RM12] E. Rescorla und N. Modadugu. *Datagram Transport Layer Security Version 1.2*. RFC 6347 (Proposed Standard). Internet Engineering Task Force, Jan. 2012. URL: <http://tools.ietf.org/html/rfc6347>.
- [She+12] Z. Shelby, K. Hartke, C. Bormann und B. Frank. *Constrained Application Protocol (CoAP)*. Internet-Draft. Internet Engineering Task Force, 2012. URL: <http://tools.ietf.org/html/draft-ietf-core-coap-13>.
- [Son+06] JH. Song, R. Poovendran, J. Lee und T. Iwata. *The AES-CMAC Algorithm*. RFC 4493 (Proposed Standard). Internet Engineering Task Force, Juni 2006. URL: <http://tools.ietf.org/html/rfc4493>.
- [T Bo5] L. Masinter T. Berners-Lee R. Fielding. *Uniform Resource Identifier (URI): Generic Syntax*. RFC 3986 (Proposed Standard). Internet Engineering Task Force, Jan. 2005. URL: <http://tools.ietf.org/html/rfc3986>.
- [TKK13] H. Tschofenig, S.S. Kumar und S. Keoh. *A Hitchhiker's Guide to the (Datagram) Transport Layer Security Protocol for Smart Objects and Constrained Node Networks*. Internet-Draft. Internet Engineering Task Force, Juli 2013. URL: <http://tools.ietf.org/html/draft-tschofenig-lwig-tls-minimal-03>.
- [WHFo3] D. Whiting, R. Housley und N. Ferguson. *Counter with CBC-MAC (CCM)*. RFC 3610 (Proposed Standard). Internet Engineering Task Force, Sep. 2003. URL: <http://tools.ietf.org/html/rfc3610>.

Abbildungsverzeichnis

2.1	Header des Record-Layer-Protokolls von DTLS	8
2.2	Header des Handshake-Protokolls von DTLS	8
2.3	Nachrichtenaustausch während eines DTLS-Handshakes	9
2.4	Header des Alert-Protokolls von DTLS	11
3.1	Komprimierter Handshake-Header	13
3.2	Nachrichtenaustausch während eines TLS / DTLS Handshakes über CoAP	16
3.3	Komprimierter Content-Header	17
3.4	Nachrichtenaustausch während eines TLS / DTLS Handshakes über CoAP	18
4.1	Nonce für AES-CCM	21
4.2	Definition der Pseudo-Random-Funktion	22
5.1	Speicheraufteilung von SmartAppContiki	24
5.2	Aufteilung des erweiterten Flash-Speichers	26
6.1	Alternative zur ClientHello-Nachricht	38
6.2	Größe der Handshake-Nachrichten	39
6.3	Datenaustausch in Byte während eines Handshake mit angepasstem DTLS	40
6.4	Datenaustausch in Byte während eines Handshake mit DTLS	41
6.5	Datenaustausch in Byte während eines Handshake mit DTLS und Stateless-Header-Compression	42
6.6	Vergleich der drei Varianten	43
6.7	Speicheraufteilung von SmartAppContiki ohne und mit DTLS	44
6.8	Größe einiger nennenswerter Komponenten aus TinyDTLS	45
A.1	CD	59

Anhang A

CD und Inhalt

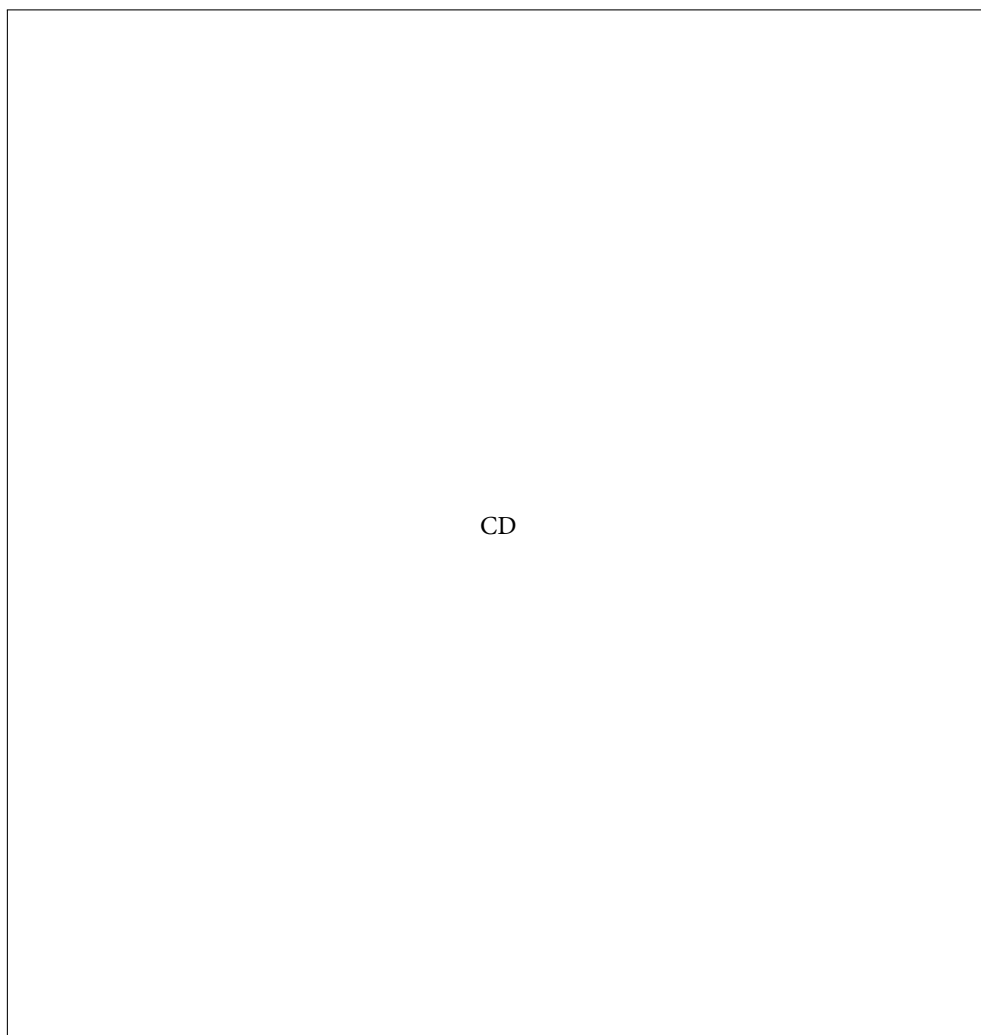


Abbildung A.1 CD

Im Folgenden werden die Ordner der CD, sowie deren Inhalte, in der obersten Ebene beschrieben.

- **blaster**: Programm blaster, das die Server-Software vor dem Flashen mit gerätespezifischen Informationen ergänzt.
- **border-router**: Aus Contiki entnommener Border-Router, der mit der IP-Adresse `aaaa::60b1:60b1:60b1:0022` konfiguriert ist.
- **client**: Client inklusive libcoap und DTLS.
- **contiki**: SmartAppContiki mit zusätzlichen Apps, wie DTLS, ECC und flash-store.
- **dokumente**: Einige in dieser Arbeit genutzte Dokumente und Software, inklusive Quellenangaben.
- **expose**: Exposé zur Bachelorarbeit.
- **kolloquien**: Präsentationen der beiden Kolloquien, in denen die Bachelorarbeit vorgestellt wurde.
- **libmc1322x**: Bibliothek zur Nutzung des MC13224v, die in dieser Arbeit erweitert wurde.
- **report**: Quellcode dieses Dokuments inklusive der erzeugten PDF-Datei.
- **server**: Server mit einigen Ressourcen, der auf Contiki basiert. Vorkonfiguriert mit der IP-Adresse `aaaa::60b1:60b1:60b1:0019`.
- **server-min**: Minimaler CoAP-Server mit einer Ressource und dem unveränderten Contiki.
- **server-tiny**: DTLS-Server mit TinyDTLS. Zu groß für den MC13224v: aber notwendig für den Größenvergleich einiger Komponenten.
- **sniffer**: Aus Contiki entnommener Sniffer, der mit der IP-Adresse `aaaa::60b1:60b1:60b1:0028` konfiguriert ist. Außerdem sind einige Mitschnitte von Handshakes enthalten.
- **windows**: Notwendige Treiber und ein Script, um die Datenausgabe des Servers per USB auch in Windows abzurufen.
- **wireshark**: Wireshark-Dissector für das in dieser Arbeit entwickelte Protokoll, mit Wireshark in der genutzten Version.